

Desarrollo de una interfaz gráfica para una herramienta de cálculo de estructuras

Federico García - Rafael Olivera

Tutor: Dr. Ing. Franco Robledo

Co-Tutores: Dr. Ing. Jorge Pérez - Ing. Pablo Castrillo

Usuario final: Grupo de Mecánica de Sólidos Computacional, Facultad de
Ingeniería, Udelar.



Instituto de Computación
Facultad de Ingeniería
Universidad de la República
Montevideo, Uruguay
15 de marzo de 2016

Agradecimientos

Agradecemos especialmente al Dr. Ing. Jorge Pérez y al Ing. Pablo Castrillo, por su paciencia y dedicación al introducirnos en los conceptos relativos al cálculo de estructuras, y por su constante apoyo e interés en lograr un sistema de calidad. También debemos nuestro agradecimiento a Dr. Ing. Franco Robledo, quién nos animó a emprender en este proyecto, aportando su conocimiento y experiencia para el desarrollo exitoso del mismo. Agradecemos de igual manera al Dr. Ing. Eduardo Fernández, quién accedió a comienzos de este proyecto a reunirse con nosotros y aportar su experiencia en herramientas de computación gráfica. Finalmente, agradecemos a nuestras familias y amigos, ya que sin su constante apoyo hubiese sido imposible lograr los objetivos cumplidos.

Desarrollo de una interfaz gráfica para una herramienta de cálculo de estructuras

Federico García - Rafael Olivera

Abstract

En este documento se plantea el desarrollo de una interfaz gráfica para la herramienta IETFEM, un motor de cálculo de estructuras desarrollado por el Grupo de Mecánica de Sólidos Computacional de la Facultad de Ingeniería. Actualmente, la interfaz de comunicación entre IETFEM y el usuario se realiza mediante archivos de texto, lo cual conlleva grandes complicaciones para el usuario, limitando el potencial de la herramienta.

Para desarrollar la interfaz se eligieron tecnologías web, utilizando como principal aliado para el modelado gráfico el innovador WebGL. Este resulta un importante diferencial para la herramienta, donde la gran mayoría del sector opta por un enfoque de escritorio, privativo y no existiendo opciones 3D desarrolladas en Latinoamérica.

Con la propuesta de una interfaz gráfica 3D se pretende potenciar la herramienta, agregando valor en la usabilidad y eficiencia de la misma. De esta forma facilita el crecimiento académico de los estudiantes y usuarios, acercándolos a una interfaz gráfica similar a la de programas comerciales que se encontrarán en el desarrollo de su profesión.

Durante el desarrollo de la interfaz se resolvieron ejercicios reales de los cursos de la facultad, así como estructuras de distintos portes, logrando llevar la interfaz al límite con estructuras enormes como es el caso de la Torre Eiffel.

La herramienta será utilizada en una primera instancia en el curso de Elasticidad durante el año 2016 y quedará a disposición de estudiantes y docentes de la facultad. Se logró un producto que cumple ampliamente con las expectativas iniciales del cliente, aunque también queda lugar para trabajo futuro, principalmente agregando la capacidad de resolver más problemas de este tipo.

Keywords: Método de Elementos Finitos; Cálculo de Estructuras; Interfaz Gráfica; Computación Gráfica; Programación Web; Espacio 3D.

Índice

1. Introducción	11
1.1. Definición del problema y motivación	11
1.2. Desarrollo previo	12
1.3. Objetivos y resultados esperados	13
1.4. Desarrollo del proyecto	14
1.5. Organización del documento	14
2. Estado del Arte	15
2.1. Cálculo de estructuras	15
2.1.1. Problema y cálculos implicados	15
2.1.2. IETFEM	16
2.2. Herramientas comerciales	16
2.2.1. SAP2000	16
2.2.2. AxisVM	17
2.2.3. Herramientas Web	18
2.3. Desarrollo 3D	19
2.3.1. OpenGL	19
2.3.2. LWJGL y JOGL	20
2.3.3. JMonkeyEngine 3	20
2.4. Desarrollo 3D en la Web	20
2.4.1. HTML5 - Canvas	21
2.4.2. WebGL	21
2.4.3. Librerías para desarrollo 3D	21
2.5. Información complementaria	22
2.5.1. Investigación sobre proyectos similares en América Latina	22
2.5.2. Conclusión	22
3. Organización del trabajo	23
3.1. Alcance	23
3.2. Metodología de trabajo	24
3.3. Estimación y esfuerzo efectivo	26
4. Presentación de la solución	27
4.1. Análisis y relevamiento de requerimientos	27
4.2. Diseño de la solución	29
4.3. Arquitectura	32
4.4. Tecnologías y herramientas utilizadas	36
4.4.1. HTML5 - JavaScript - CSS3	36
4.4.2. BootStrap	36
4.4.3. AngularJS	38
4.4.4. ThreeJs	38

4.4.5. Electron	39
4.5. Manejo del espacio 3D	39
4.5.1. Eventos de usuario	39
4.5.2. Adición, sustracción y transformación de objetos	40
4.5.3. Manejo de la cámara	41
4.5.4. Trazado de rayos e intersecciones con objetos	42
4.6. Manejo de datos	43
4.6.1. Entrada y mantenimiento de información	43
4.6.2. Almacenamiento de la estructura	45
4.6.3. Salida de Datos	46
4.7. Análisis de resultados del Core	47
4.7.1. Generación de resultados	47
4.7.2. Introducción de datos en la UI	47
4.7.3. Visualización	48
5. Resultados obtenidos	49
5.1. Comparación IETFEEM con y sin UI	49
5.1.1. Análisis del impacto en la usabilidad	49
5.1.2. Análisis del impacto en el tiempo de ejecución	50
5.2. Casos de prueba	51
5.2.1. Estudio de casos de pequeño porte (Torre pequeña)	51
5.2.2. Estudio de casos de mediano porte (Grúa)	53
5.2.3. Estudio de casos de gran porte y performance (Torre Eiffel)	56
5.3. Resolución de un ejercicio práctico	57
6. Conclusiones y trabajo futuro	63
6.1. Conclusiones	63
6.2. Trabajo a futuro	64
6.2.1. Trabajo en la interfaz	64
6.2.2. Despliegue de la aplicación	64
7. Anexos	66
A. Especificación de Casos de Uso	66
B. Entrada del motor: Torre pequeña	74
C. Salida del motor: Torre pequeña	77

Índice de figuras

1.	SAP2000	17
2.	AxisVM	18
3.	Ciclo de vida de IETFEM	25
4.	Planilla utilizando metodología Kanban	26
5.	Diagrama de Gantt con la planificación del proyecto	26
6.	Modelo de dominio de IETFEM.	30
7.	Flujo principal de la aplicación	32
8.	Diagrama de componentes de IETFEM UI	33
9.	Diagrama de distribución física: IETFEM Estudiantil	37
10.	Diagrama de distribución física: IETFEM en la nube	37
11.	Definición de la cámara en ThreeJS	41
12.	Visualización del Espacio desde la cámara en Perspectiva. También puede observarse la segunda cámara con los ejes en la esquina inferior izquierda.	42
13.	Ejemplo de traza de un rayo entre la cámara y el click del usuario	43
14.	Correspondencia entre dibujo en la escena y el modelo mantenido en segundo plano	44
15.	IETFEM: Versión final	49
16.	Caso de Estudio: Torre pequeña	52
17.	Caso de Estudio: Grúa	54
18.	Deformación de la grúa	55
19.	Coloración de la grúa	55
20.	Letra de un ejercicio del curso de Elasticidad del 2016	58
21.	Definiendo la estructura	58
22.	Asignando fuerzas y apoyos a los nodos.	59
23.	Asignando materiales y secciones a las barras.	59
24.	Vista de la estructura una vez ingresados los resultados del motor.	60
25.	Deformada resaltada, con un factor de escala de 500.	60
26.	Escala de colores: muestra todas las barras en rojo, lo que significa que todas las barras se comprimen, lo cual es coherente con la estructura deformada.	61
27.	Imágenes obtenidas del ejercicio planteado desde el viejo IETFEM.	62

1. Introducción

1.1. Definición del problema y motivación

Desde las primeras casas construidas por el hombre, hasta el edificio más moderno y extravagante que exista en la actualidad, puede decirse que se buscó en el fondo el mismo objetivo: lograr una estructura segura, resistente y funcional. Hoy por hoy, la evolución del conocimiento humano y de la tecnología circundante ha permitido desarrollar a niveles altísimos la comprensión del problema y sus posibles soluciones.

El cálculo de estructuras, en ese sentido, es una rama fundamental dentro de la ingeniería civil. Se trata de una serie de complejos cálculos realizados con la finalidad de diseñar estructuras óptimas con las condiciones descritas anteriormente. A grandes rasgos, se busca que la estructura pueda soportar tanto su propio peso, como cualquier fuerza externa que pueda ser aplicada a la misma. Debido a estos factores, la estructura puede sufrir ciertas deformaciones antes de alcanzar su punto de equilibrio.

La Ingeniería en Computación no ha dejado este problema de lado, ya que existen diversos sistemas informáticos encargados de facilitar el diseño y cálculo de estructuras. Estos sistemas permiten, a grandes rasgos, modelar una estructura mediante la definición de diferentes elementos estructurales, materiales, secciones, apoyos, fuerzas externas, etc. Finalmente, realizan los cálculos correspondientes, mostrando la estructura en un estado de equilibrio con las solicitaciones y deformaciones ocurridas en el proceso.

Así como existen estos sistemas reconocidos mundialmente, la Facultad de Ingeniería (FIng) cuenta también con su propia herramienta de cálculo de estructuras. Su nombre es IETFEM, y fue desarrollado por los Ing. Pablo Castrillo y Jorge Pérez pertenecientes al Instituto de Estructuras y Transporte (IET). Se trata de un motor de cálculo de código abierto desarrollado en GNU-Octave[1] que recibe una estructura descrita en formato texto y genera gráficas, imágenes y tablas de resultados. Es un sistema de uso académico que actualmente se utiliza en diversos cursos dictados por el instituto en cuestión.

En este proyecto, se desarrolló una interfaz gráfica acorde para ser utilizada en conjunto con el motor de cálculo antes mencionado, logrando así un sistema completo de diseño y cálculo de estructuras con un mayor grado de amigabilidad. Se busca, en particular, agregar funciones de dibujado y visualización de resultados que pueden observarse en otras herramientas de la misma índole, acercando al IETFEM a los sistemas comerciales y logrando una mayor usabilidad y eficiencia para los estudiantes que lo utilizarán.

38 1.2. Desarrollo previo

39 Como mencionamos anteriormente, la FIng cuenta con un motor de cálculo de
40 estructuras denominado IETFEM[2]. El mismo resuelve problemas de cálculo
41 de estructuras utilizando el Método de los Elementos Finitos (MEF).

42 El MEF es, desde mediados del siglo XX, una de las principales herramientas
43 utilizadas por los ingenieros para el análisis de sistemas estructurales, mecáni-
44 cos, eléctricos, etc. El avance de la computación y la disponibilidad creciente de
45 computadores potentes a bajo costo ha provocado que los programas comercia-
46 les de MEF para el cálculo estructural sean utilizados masivamente. De hecho,
47 en los últimos cuarenta años el MEF ha transformado los procedimientos de tra-
48 bajo de todas las áreas de ingeniería y constituye hoy una de las herramientas
49 indispensables con las que un ingeniero debe contar en el ejercicio de su profe-
50 sión. Por otra parte, el uso del MEF por parte de profesionales no debidamente
51 capacitados podría eventualmente producir errores en el diseño de estructuras,
52 y por tanto, riesgos para los usuarios.

53 En este contexto, la enseñanza del MEF en las carreras de ingeniería se trans-
54 forma en un desafío docente, donde además de formar a los estudiantes en el
55 uso de diferentes programas de cálculo estructural es necesario transmitirles los
56 conocimientos y herramientas que les permitan realizar un análisis crítico de los
57 resultados. Es importante destacar además, que la mayoría de los programas
58 comerciales (ej: SAP2000[3] y AxisVM[4]) de MEF son de código cerrado, por
59 lo que presentan como desventaja a nivel educativo, que no permiten a los estu-
60 dantes ver su funcionamiento interno, limitando la comprensión de los errores
61 durante el aprendizaje.

62 De esta manera surge entre docentes del Instituto de Estructuras y Transporte
63 (IET) la motivación de brindar una solución al problema a través del desarrollo
64 de un *software* educativo y de código abierto: IETFEM.

65 IETFEM comenzó a desarrollarse en 2012. El primer módulo desarrollado per-
66 mitió resolver problemas de estructuras de barras articuladas ó apoyadas en
67 el plano con cargas aplicadas en los nodos. Esta primera versión fue utilizada
68 por estudiantes del curso de Elasticidad 2013; luego se incluyó la posibilidad de
69 generar un informe de salida en formato \LaTeX . Posteriormente, la herramien-
70 ta contó con el aporte del docente del IET, Agustín Spalvier, desarrollando la
71 capacidad de ingresar cargas distribuidas uniformes en elementos de pórtico y
72 el análisis modal de vibraciones de pórticos. Finalmente, a principios de 2014,
73 Castrillo desarrolló un módulo para la resolución de problemas con variaciones
74 de temperatura y fuerza de volumen en barras articuladas.

75 Se buscó una herramienta que sin ser compleja para su aplicación en cursos de
76 grado, permita al estudiante visualizar el funcionamiento interno del método
77 de cálculo. Por ello se optó por la sintaxis de programación de GNU-Octave
78 (herramienta libre de alta compatibilidad con Matlab[5]), ya conocida por los
79 estudiantes. Se considera que contar con un *software* abierto donde los estu-

80 dantes pueden entender e incluso programar nuevos cálculos de acuerdo a sus
81 necesidades, enriquece el trabajo desde el punto de vista didáctico.

82 La forma de ingreso de datos se eligió de acuerdo a otros programas de cálculo
83 de estructuras como SAP2000 donde se deben definir: materiales, secciones,
84 estados de carga, geometrías, conectividades, etc. En el IETFEM se optó por
85 una entrada de archivo de texto plano donde el estudiante debe ingresar esta
86 información. La salida también es en texto plano (.txt y .tex) y gráfica, al igual
87 que en los programas comerciales.

88 Sin embargo, la generación del archivo de entrada y la comunicación con el
89 IETFEM pueden llegar a ser tediosas y complicadas para el estudiante. Debe
90 tenerse en cuenta que debe especificarse la estructura nodo por nodo, barra
91 por barra, describiendo los materiales, secciones y fuerzas aplicadas, entre otras
92 cosas, respetando además un formato fijo de documento que puede derivar en
93 diversos errores de sintaxis.

94 Por lo tanto, se desarrolló en este proyecto una interfaz gráfica de código abierto
95 donde el estudiante pueda dibujar la estructura de una manera sencilla e intuiti-
96 va, y que genere la entrada al IETFEM de manera automática. De esta manera,
97 se pretende mejorar tanto la facilidad de uso como la eficiencia del mismo.

98 **1.3. Objetivos y resultados esperados**

99 La herramienta IETFEM permite resolver de forma rápida estructuras de tama-
100 ño medio (cientos de barras), lo cual cubre claramente las necesidades para su
101 uso en enseñanza. Por otra parte, la visualización de los resultados es un aspecto
102 a mejorar ya que actualmente se están utilizando funciones de GNU-Octave con
103 limitaciones importantes.

104 A lo largo de este proyecto se persiguieron 2 grandes objetivos que se consideran
105 esenciales para el enriquecimiento del sistema: Mejorar la eficiencia y mejorar
106 la usabilidad.

107 Para mejorar la usabilidad, se desarrolló una interfaz que permite al usuario
108 dibujar la estructura de manera fluida y amigable. Se trata de un espacio 3D
109 donde el usuario puede moverse libremente utilizando el mouse para desplazarse
110 y rotar la cámara. Permite dibujar la estructura de una manera continua e
111 intuitiva. Además, facilita la comunicación con el motor de cálculo previamente
112 desarrollado y la visualización de los resultados obtenidos.

113 Para mejorar la eficiencia, se redujo el tiempo de ejecución del motor de cálculo,
114 eliminando el proceso de generación de gráficos e imágenes, ya que ahora los
115 resultados pueden verse en la nueva interfaz. Como regla básica, se buscó que el
116 usuario pierda el menor tiempo posible en problemas tecnológicos o informáticos
117 y que dirija sus esfuerzos al comprendimiento del problema y su método de
118 resolución.

119 A modo de resumen, se busca un sistema ágil, de código abierto, que mejore
120 ambos aspectos lo suficiente como para poder ser utilizado sin problemas en los
121 cursos dictados por el IET, siendo el curso más apropiado para comenzar su
122 aplicación el curso de Elasticidad, en el cual se introduce a los estudiantes al
123 Método de los Elementos Finitos. Con el fin de verificar el cumplimiento de los
124 objetivos por parte del sistema, una vez finalizado, será evaluado a través de la
125 resolución de problemas de estructuras de tamaños diversos y un ejercicio típico
126 del curso Elasticidad. Luego se compararán las salidas gráficas y los tiempos de
127 ejecución.

128 **1.4. Desarrollo del proyecto**

129 El proyecto comenzó con una fase fuerte de investigación. Inicialmente se rea-
130 lizaron reuniones ocasionales con los tutores, donde se reunió información va-
131 liosa sobre la teoría de cálculo de estructuras y el método de elementos finitos.
132 Además se definió qué tipo de herramienta se quería, qué funcionalidades eran
133 deseadas y qué objetivos se buscaban. Durante esta etapa se utilizó el motor
134 de cálculo directamente para comprender su funcionamiento y compararlo con
135 otras herramientas similares, como por ejemplo el software comercial SAP2000.

136 Una vez comprendido el problema, se procedió a buscar herramientas con las
137 cuáles desarrollar la interfaz. Se investigaron librerías y lenguajes de programación
138 3D, optando al final por utilizar tecnologías web por su simplicidad de uso,
139 agilidad y portabilidad.

140 Posteriormente se comenzó a diseñar e implementar la herramienta, separan-
141 do en diferentes módulos que serán descriptos en detalle en el Capítulo 4. Se
142 ejecutaron reuniones quincenales con los tutores para definir detalles, corregir
143 errores, evaluar resultados y tomar decisiones en conjunto. Esta fase ocupó la
144 mayor parte del tiempo del proyecto, debido a la dificultad técnica del mismo.

145 Finalmente, una vez alcanzado un producto inicial que cumplía las expectativas
146 planteadas, se procedió a realizar pruebas sobre el mismo, detectando ciertos
147 errores de performance que fueron solucionados hasta obtener un producto que
148 cumple de forma satisfactoria con las necesidades planteadas por el usuario final
149 en el dictado de cursos. (se hablará de estas medidas en el Capítulo 5).

150 **1.5. Organización del documento**

151 El resto del documento se organiza de la siguiente manera:

152 En el siguiente Capítulo, se comienza analizando el estado del arte, tanto del
153 problema de cálculo de estructuras como de herramientas de programación 3D, y
154 su posible uso en sistemas de este tipo. Se realiza un estudio de diferentes herra-
155 mientas investigadas, el estado de las mismas y su posibilidad de ser utilizadas

156 en este proyecto. También se investigan otros sistemas de cálculo de estructuras
157 y otros proyectos académicos similares en América Latina y el mundo.

158 Posteriormente, en el Capítulo 3, se habla de la organización del trabajo a lo
159 largo del proyecto. Se plantea el alcance del mismo, definiendo las funcionalida-
160 des y características específicas que se buscan en el producto final. Se describe
161 la metodología de trabajo utilizada y se realizan estimaciones para cada tarea
162 comprendida, comparando finalmente con el esfuerzo efectivo.

163 A continuación, en el Capítulo 4, se procede a plantear la solución propuesta,
164 detallando cada aspecto de la misma. Se describe con exactitud su proceso de
165 diseño e implementación, la arquitectura definida, el funcionamiento de cada
166 componente, las herramientas utilizadas y su uso en general.

167 En el Capítulo 5, se especifican los resultados obtenidos, analizando diferentes
168 casos de prueba y comparando con resultados obtenidos desde IETFEM antes
169 de la realización de este proyecto. Se analizan además los problemas obtenidos
170 durante esta fase y cómo fueron resueltos.

171 Finalmente, el Capítulo 6, enumera las conclusiones obtenidas durante el pro-
172 yecto, analizando el cumplimiento de objetivos y proponiendo posible trabajo a
173 futuro a desarrollar sobre IETFEM.

174 2. Estado del Arte

175 2.1. Cálculo de estructuras

176 2.1.1. Problema y cálculos implicados

177 IETFEM fue creado en 2013 con el objetivo de aportar una herramienta gratuita
178 para el apoyo en la enseñanza de teoría de estructuras y el Método de Elementos
179 Finitos. Los resultados obtenidos durante su aplicación en el dictado de clases
180 fue publicado en [2].

181 El Método de Elementos Finitos (MEF)[6] es un método numérico para la re-
182 solución aproximada de Ecuaciones en Derivadas Parciales (EDP). El mismo
183 fue desarrollado a mitad del siglo XX, siendo una de las aplicaciones más anti-
184 guas la resolución de problemas de mecánica de sólidos deformables. De forma
185 simplificada se puede decir que el dominio (o una estructura) es dividido en su-
186 bregiones o elementos definidos por nodos. La solución de la EDP es hallada en
187 estos nodos con los cuales luego se interpola toda la solución a todo el elemento.

188 Este método se usa en el diseño y mejora de productos y aplicaciones indus-
189 triales, así como en la simulación de sistemas físicos y biológicos complejos. La
190 variedad de problemas a los que puede aplicarse ha crecido enormemente, sien-
191 do el requisito básico que las ecuaciones constitutivas y ecuaciones de evolución
192 temporal del problema a considerar sean conocidas de antemano.

193 2.1.2. IETFEM

194 IETFEM nació como una herramienta académica de código abierto desarrollada
195 íntegramente en la plataforma libre GNU-Octave que soluciona los problemas
196 anteriormente descritos de forma eficaz y eficiente teniendo como principal
197 objetivo enriquecer el proceso de aprendizaje de los estudiantes.

198 Si bien se logro un producto final de calidad y a nivel de las herramientas
199 comerciales (incluso superándolas) en cuanto a los resultados de los cálculos,
200 la herramienta quedó con un debe en cuanto a la interacción con el usuario.
201 El mismo debe generar un archivo de texto con los datos de la estructura en
202 un formato específico con gran cantidad de información en forma de matrices.
203 Este proceso puede rápidamente volverse engorroso y difícil de manejar. Dicha
204 característica es considerada como la más importante fuente de motivación del
205 presente proyecto, así también como mejorar potencialmente la visualización de
206 los resultados finales.

207 2.2. Herramientas comerciales

208 Existen en el mercado diversos productos de *software* enfocados al análisis de
209 estructuras, con gran cantidad de funcionalidades y utilizados por ingenieros
210 de todo el mundo en problemas reales. En el marco de este proyecto se explo-
211 raron con mayor rigurosidad dos herramientas: SAP2000 y AxisVM, las cuales
212 en etapas más avanzadas del desarrollo fueron tomadas como estándar para la
213 implementación de ciertas funcionalidades, basados principalmente en la expe-
214 riencia de los tutores con las mismas.

215 2.2.1. SAP2000

216 Es un *software* comercial desarrollado por la empresa Computers & Structu-
217 res, Inc. [7] fundada en 1975 en California, siendo uno de los pioneros en herra-
218 mientas de análisis de estructuras.

219 Actualmente en su versión 18, SAP2000 es una aplicación para computadoras
220 que se ejecuta en ambientes Windows. Cuenta con un entorno gráfico 3D para el
221 modelado y una interfaz de usuario muy completa que puede resultar demasiado
222 compleja para modelar estructuras simples.

223 Entre las características más importantes se encuentran:

- 224 ■ Un motor de análisis que puede resolver varios tipos de problemas.
- 225 ■ Diversas características para el modelado como *templates*, sistema de gri-
226 llas, distintas vistas y herramientas de meshing.
- 227 ■ Diversos componentes estructurales como articulaciones, barras, cables só-
228 lidos, resortes, etc.

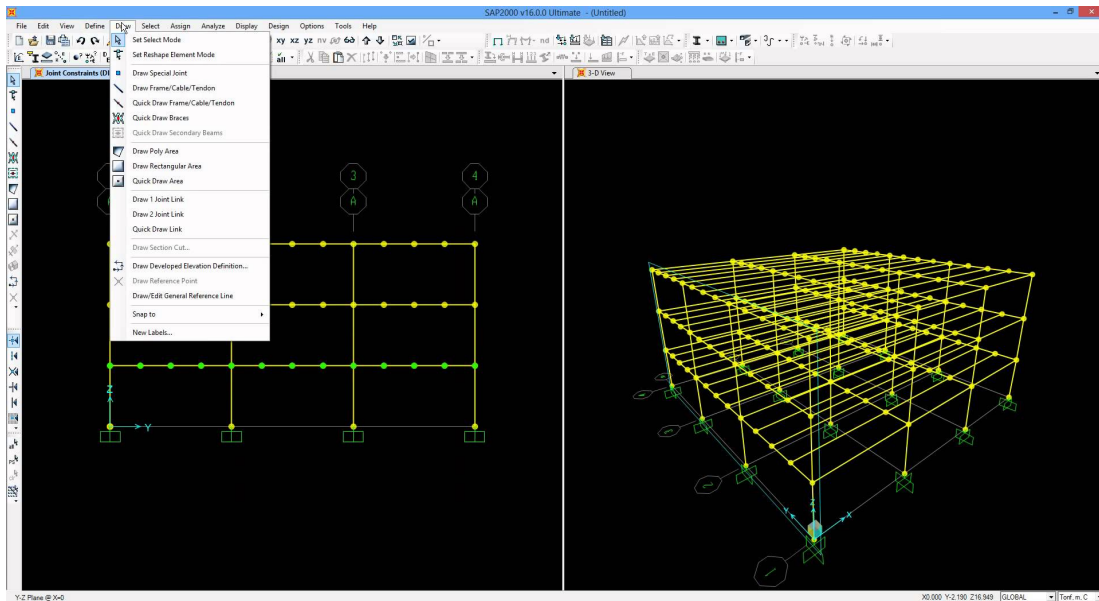


Figura 1: SAP2000

- 229 ■ Posibilidad de aplicar distintos tipos de cargas.
 - 230 ■ Varias posibilidades para ver la salida de los cálculos con diagramas, tablas
 - 231 y reportes.
 - 232 ■ Importación y exportación de modelos en distintos formatos estándar.
- 233 Por todo esto, SAP2000, es uno de los productos comerciales líderes en el mer-
- 234 cado siendo utilizado en más de 160 países en todo el mundo[8].
- 235 En cuanto al licenciamiento, es un software privativo el cual cuenta con la opción
- 236 de solicitar un trial de una versión limitada de la herramienta. Para comprarla
- 237 es necesario contactarse con un vendedor de Buenos Aires.

2.2.2. AxisVM

- 239 Es un *software* comercial desarrollado por la empresa InterCAD Kft. en 1991
- 240 y con sede en Hungría. Fue una de las primeras herramientas 3D basada en el
- 241 método de los elementos finitos.
- 242 Actualmente en su versión 13, AxisVM requiere computadoras con el sistema
- 243 operativo Windows. El conjunto de características es muy similar al descrito
- 244 en la anterior herramienta.
- 245 Axis cuenta con una versión *light* gratuita con limitaciones en la cantidad de
- 246 elementos que se pueden construir, además de la posibilidad de descargar una

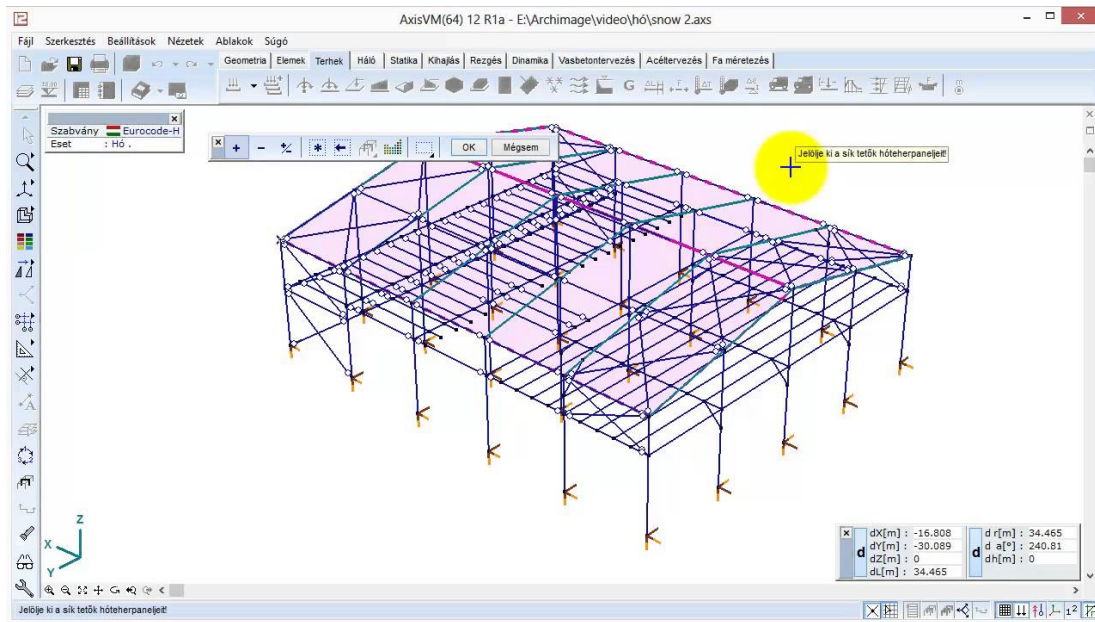


Figura 2: AxisVM

247 versión *trial* por tiempo limitado con el fin de evaluar más intensamente la
248 herramienta.

249 2.2.3. Herramientas Web

250 El sector del *software* de análisis estructural en la web (o nube) es un paradigma
251 poco explorado por los desarrolladores, existiendo un conjunto muy limitado de
252 ofertas en este sentido.

253 De acuerdo a la investigación realizada es importante destacar las siguientes
254 ofertas:

- 255 ■ Idea StatiCa [9] es un emprendimiento Checo que cuenta con calculadoras
256 para 6 problemas principalmente en espacios 2D. Ha sido desarrollado en
257 Silverlight y utilizando la nube de Microsoft Azure como plataforma de
258 despliegue.

259 Cuenta con ciertas características gratuitas y funciona con un sistema de
260 créditos que se deben comprar para realizar ciertas funciones.

- 261 ■ CloudCalc [10] es un *software* en crecimiento enfocado al análisis de es-
262 tructuras de acero en la nube proveniente de Houston EEUU. Ha sido
263 desarrollado utilizando WebGL para las características gráficas 3D.

264 Actualmente es una aplicación gratuita, es necesario simplemente la crea-
265 ción de una cuenta para poder probarla.

266 ■ SkyCiv [11] es un emprendimiento reciente de origen Australiano y es la
267 suite más desarrollada y con mayor calidad aparente de las vistas en este
268 sector. Cuenta con calculadoras para distintos problemas en 2D y una
269 versión pro que permite estructuras en 3D. Utiliza también WebGL para
270 los gráficos.

271 Cuenta con un *trial* por 30 días para probar todas sus funcionalidades y
272 luego es un servicio que se paga de forma mensual.

273 Si bien existen algunas pocas ofertas, no logran niveles de calidad similares por
274 ejemplo a herramientas de escritorio como SAP2000 o AxisVM, encontrándose
275 así una ventana de oportunidad para el desarrollo de este tipo de herramientas
276 con interfaces Web.

277 2.3. Desarrollo 3D

278 Dado el fuerte componente gráfico del proyecto fue necesario repasar un gran
279 abanico de posibilidades a nivel tecnológico que permitan cumplir con los requere-
280 rimientos 3D de la aplicación requerida. A continuación se muestran las princi-
281 pales opciones investigadas, que van desde especificaciones estándares de muy
282 bajo nivel de abstracción, pasando por *wrappers* de las mismas, hasta completos
283 y potentes motores gráficos.

284 Se priorizaron fuertemente herramientas gratuitas de código abierto dado que
285 fue un requerimiento por parte de los tutores. Además se hizo especial foco en
286 tecnologías conocidas por los desarrolladores tales como Java o tecnologías web.

287 2.3.1. OpenGL

288 Es una especificación estándar que define una *API* multilenguaje y multiplata-
289 forma para escribir aplicaciones que produzcan gráfico 2D y 3D.

290 El funcionamiento básico consiste en aceptar primitivas como puntos, líneas
291 y polígonos y convertirlas en píxeles. Es una *API* basada en procedimientos
292 de bajo nivel que requiere que el programador dicte los pasos exactos para
293 renderizar la escena. Esto la diferencia de otras *APIs* más descriptivas, donde
294 el programador sólo debe describir la escena.

295 OpenGL [12] tiene dos propósitos esenciales:

296 ■ Ocultar la complejidad de la interfaz con las diferentes tarjetas gráficas,
297 presentando al programador una *API* única y uniforme.

298 ■ Ocultar las diferentes capacidades de las diversas plataformas hardwa-
299 re, requiriendo que todas las implementaciones soporten la funcionalidad
300 completa de OpenGL

301 En la actualidad en su versión 4.5 se utiliza ampliamente en CAD, realidad vir-
302 tual, representación científica, visualización de información, simulación y desa-
303 rrollo de videojuegos donde compite con Direct3d (en plataformas Microsoft).

304 En virtud de lo detallado en cuanto al bajo nivel de abstracción y por conse-
305 cuente prolongada curva de aprendizaje y baja productividad esta opción fue
306 descartada rápidamente al menos en su uso directo.

307 2.3.2. LWJGL y JOGL

308 JWJGL (Lightweight Java Game Library 3) [13] y JOGL (Java OpenGL) [14]
309 son *wrappers* de OpenGL que proveen acceso de bajo nivel a sus funcionalidades
310 que a menudo no se implementan de manera correcta. No son librerías con gran
311 cantidad de funcionalidades ni proveen utilidades de alto nivel.

312 En la actualidad existen muchas herramientas y motores gráficos para desa-
313 rrollar aplicaciones 3D con mayor cantidad de funcionalidades, menor curva de
314 aprendizaje y mayor productividad que utilizan estas librerías como base.

315 2.3.3. JMonkeyEngine 3

316 Es un motor de código abierto con fuerte inclinación para el desarrollo de video-
317 juegos [15], hecho especialmente para desarrolladores Java para la creación de
318 aplicaciones 3D utilizando las más modernas tecnologías de una manera rápida
319 y con una baja curva de aprendizaje.

320 Esta desarrollado en base a JWJGL y es la suite más popular en el mundo
321 java para desarrollo de videojuegos en alto nivel, con una gran comunidad de
322 desarrolladores y extensivamente documentado. Si bien el enfoque principal son
323 los videojuegos es importante destacar que tiene todas las capacidades para
324 poder construir otro tipo de aplicaciones.

325 2.4. Desarrollo 3D en la Web

326 La utilización de tecnologías web para el desarrollo de la aplicación probaba
327 a priori ser una opción con mucho potencial aportando gran flexibilidad, una
328 opción multiplataforma-multidispositivo además de ser innovadora para herra-
329 mientas de este tipo.

330 Es por estas razones y la experiencia del equipo de desarrollo en estas tecnolo-
331 gías (HTML5, CSS, Bootstrap, JavaScript, AngularJS, etc.) que se investigó la
332 factibilidad de una solución gráfica 3D en este contexto.

333 2.4.1. HTML5 - Canvas

334 El contexto 2D para el elemento de HTML «Canvas»[16] permite la creación
335 de gráficos en páginas web. Es una tecnología que se usa principalmente para
336 dibujar gráficos 2D en la web, aunque es posible realizar trabajos en 3D.

337 La relativa dificultad para realizar trabajos 3D y la gran diferencia de perfor-
338 mance contra opciones como WebGL (Canvas corre en CPU) descartaron esta
339 opción (en su uso directo) rápidamente.

340 2.4.2. WebGL

341 WebGL [17] es una especificación estándar que está siendo desarrollada ac-
342 tualmente para mostrar gráficos en 3D en navegadores web. Permite mostrar
343 gráficos en 3D acelerados por *hardware* (GPU) en páginas web, sin la necesidad
344 de *emph*plug-ins en cualquier plataforma que soporte OpenGL 2.0 u OpenGL
345 ES 2.0. Técnicamente es una *API* para JavaScript que permite usar la imple-
346 mentación nativa de OpenGL ES 2.0.

347 Existe una gran gama de aplicaciones desarrolladas sobre esta tecnología, desde
348 videojuegos 3D hasta aplicaciones científicas como visualizadores de estructuras
349 moleculares, simulaciones del sistema solar o una aplicación de la NASA llamada
350 «Experience Curiosity» [18] por el aniversario del aterrizaje del robot «Curiosity
351 Rover» en Marte.

352 Es importante destacar que en la actualidad esta soportado por todos los prin-
353 cipales navegadores web tanto en versiones de escritorio como de dispositivos
354 móviles.

355 Con esta gran cantidad de demostraciones de calidad en WebGL y su amplio
356 soporte se perfiló como una opción innovadora y altamente factible para la
357 realización del proyecto.

358 2.4.3. Librerías para desarrollo 3D

359 Como WebGL es una tecnología diseñada para trabajar directamente con el
360 GPU (unidad de procesamiento gráfico) es difícil de codificar en comparación
361 con otros estándares web más accesibles, es por eso que muchas bibliotecas de
362 JavaScript han surgido para resolver este problema.

363 Entre las mismas se privilegiaron aquellas con mayor cantidad de característi-
364 cas implementadas, documentación y comunidad. La investigación entonces se
365 simplificó a dos: ThreeJs [19] y BabylonJs [20] (Microsoft Open Source).

366 Ambas son librerías en JavaScript de alto nivel de abstracción sobre WebGL,
367 tienen esencialmente el mismo conjunto de características tales como:

- 368 ■ Renderización con WebGL.

- 369 ■ Distintos efectos.
- 370 ■ Escenas, para añadir y eliminar objetos en tiempo de ejecución.
- 371 ■ Cámaras, perspectiva u ortográfica.
- 372 ■ Animaciones.
- 373 ■ Luces.
- 374 ■ Materiales.
- 375 ■ *Shaders*.
- 376 ■ Objetos y Geometrías
- 377 ■ Importación y exportación para texturas y otros assets.
- 378 ■ Gran comunidad de desarrolladores (bastante mayor en ThreeJS).

379 Además en sus paginas oficiales cuentan con cientos de códigos y aplicaciones
 380 de ejemplo que dejan ver el potencial de las librerías. Entre estos ejemplos se
 381 pueden observar editores estilo CAD que implementan varias funcionalidades
 382 similares a los requerimientos del proyecto lo cual asegura la factibilidad de la
 383 herramienta en este contexto.

384 2.5. Información complementaria

385 2.5.1. Investigación sobre proyectos similares en América Latina

386 No se encontraron, en una exploración por la web o por experiencia de los do-
 387 centes de Ingeniería Civil, herramientas de *software* con componente gráfico 3D
 388 de análisis de estructuras desarrollados en Latinoamérica, aunque se encuentran
 389 ciertos esfuerzos de algunas empresas de las herramientas más importantes por
 390 llegar a este mercado mediante documentación, paginas web y/o re vendedores
 391 íntegramente de habla hispana.

392 2.5.2. Conclusión

393 Se investigaron las principales herramientas dentro del espectro de posibilidades
 394 para el desarrollo del *software* en cuestión.

395 Dentro de las herramientas de escritorio se destaca JMonkeyEngine, ofreciendo
 396 un ambiente de alto nivel para desarrollo 3D respaldado por una gran comunidad
 397 e interesantes funcionalidades. Por otra parte, dentro del mundo del desarrollo
 398 web, sobresale la calidad de las librerías de desarrollo implementadas sobre
 399 WebGL, como BabylonJs o ThreeJs. Estas librerías ofrecen el manejo de ciertos
 400 conceptos implicados en el desarrollo de la interfaz (movimiento de la cámara,
 401 agregado de objetos, etc.) de una manera intuitiva y manejable.

402 Aunque ambas opciones se perfilaron para ser utilizadas, fué clave en la deci-
403 sión tomada el hecho de encontrar escasos sistemas de cálculos de estructuras
404 desarrollados en la nube. El equipo se planteó como interrogante si es posible
405 realizar un sistema con tales características, y si es así, «¿por qué?» no ha sido
406 explorado como posibilidad por las grandes empresas.

407 Este suceso, sumado a la experiencia del equipo de desarrollo en este tipo de
408 tecnologías, centraron la atención en herramientas web para el desarrollo del
409 proyecto.

410 3. Organización del trabajo

411 3.1. Alcance

412 Como se mencionó anteriormente, los objetivos planteados en este proyecto con-
413 sisten en mejorar tanto la eficiencia como la usabilidad del IETFEM. En ese
414 sentido, existen dentro de la rama del cálculo de estructuras una infinidad de
415 funcionalidades y mejoras posibles que pueden resultar útiles en el sistema.
416 Por lo tanto, se definió un conjunto acotado de funcionalidades y característi-
417 cas deseables en el producto final, apuntando a alcanzar satisfactoriamente los
418 objetivos planteados y lograr una herramienta de alto nivel.

419 Se consideró como prioridad apuntar a una herramienta académica, es decir, una
420 herramienta libre, intuitiva para los estudiantes y aplicable en cursos dictados
421 por el IET. En particular, se tomó como referencia el curso de Elasticidad, curso
422 donde ya fué utilizado satisfactoriamente el IETFEM y donde será utilizado
423 luego de la realización de este proyecto.

424 La principal y más grande funcionalidad que se desarrolló fué la presencia de
425 un espacio 3D. El mismo es el elemento central de la aplicación, mediante la
426 cual el usuario efectúa la mayor parte de las interacciones posibles. Se pretendió
427 integrar dentro de este espacio 3D las siguientes funcionalidades:

- 428 ■ Rotación de la cámara de visualización.
- 429 ■ Movimiento de la misma por todo el espacio 3D.
- 430 ■ *Zoom In* y *Zoom Out*.
- 431 ■ Dibujado de nodos y barras.
- 432 ■ Dibujado de grillas auxiliares.
- 433 ■ Selección de nodos y barras: Para setear propiedades en las mismas.
- 434 ■ Eliminación de nodos y barras.
- 435 ■ Visualización y ocultación de propiedades: Fuerzas, puntos de apoyo y
436 resortes.

- 437 ■ Visualización de estructura resultante: Observar la deformada y comparar
438 con estructura original.
- 439 ■ Escalamiento de la estructura deformada: «Exagerar» la deformación, pa-
440 ra apreciar los pequeños desplazamientos.
- 441 ■ Visualización de las propiedades de la estructura deformada utilizando
442 escalas de colores: Deformación, Fuerzas, Tensiones, etc.

443 Más allá de que se pretende que el usuario tenga una experiencia interactiva
444 mediante el dibujado de la estructura, es necesario definir ciertas funcionalidades
445 fuera del espacio 3D. Ya sea tanto por comodidad como por intuición, estas
446 opciones se encuentran en diferentes menús que rodean el espacio, similar a los
447 demás programas comerciales dentro del rubro que se investigaron en el Capítulo
448 anterior.

- 449 ■ Abrir y Guardar Estructuras.
- 450 ■ Definición de Materiales.
- 451 ■ Definición de Secciones.
- 452 ■ Asignar propiedades a barras: Material y sección.
- 453 ■ Asignar propiedades a nodos: Fuerzas, Apoyos y Resortes.
- 454 ■ Selección de nodos y barras: Para setear propiedades en las mismas.
- 455 ■ Eliminación de nodos y barras.
- 456 ■ Prendido y apagado de elementos auxiliares
- 457 ■ Seteo de Factor de escalamiento para la estructura deformada

458 Si bien estos elementos nos permiten estimar una interfaz gráfica completa e
459 intuitiva, resta definir aún la funcionalidad más importante del proyecto: la
460 comunicación con el motor de cálculo. La salida de la interfaz debe ser un
461 archivo reconocible por el IETFEM, del cuál pueda obtener todos los datos de
462 la estructura. Así mismo, el motor debe ofrecer como salida otro archivo, el cuál
463 será recibido por la interfaz con el fin de mostrar los resultados obtenidos. Dicha
464 comunicación puede observarse en la Figura 3, aunque se hará hincapié en cómo
465 se resolvió esta comunicación en el siguiente Capítulo.

466 3.2. Metodología de trabajo

467 En las primeras etapas del proyecto se focalizó el trabajo en comprender el
468 problema que se quiere resolver. Se tuvieron reuniones quincenales con los tu-
469 tores dónde se habló del problema del cálculo de estructuras y cómo lo resuelve
470 IETFEM. Dichas reuniones se apoyaron además en una permanente comunica-
471 ción por e-Mail y una vasta investigación del problema por parte del equipo de

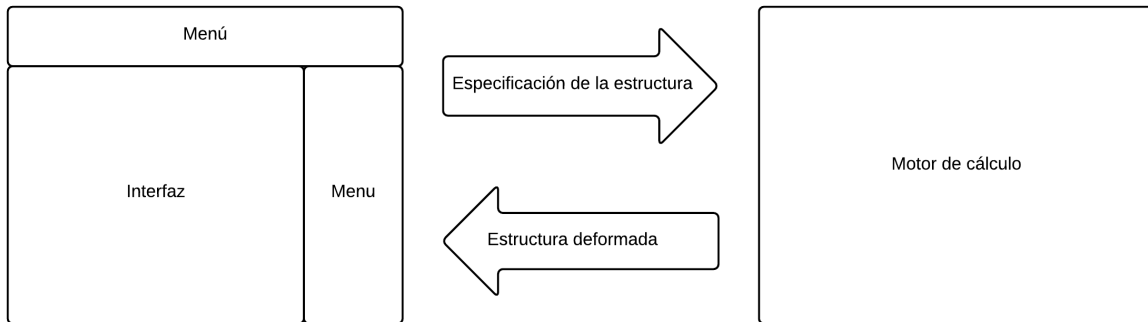


Figura 3: Ciclo de vida de IETFEM

desarrollo. Para esto no sólo se investigó sobre el problema, sino que además se utilizaron productos similares e incluso el propio IETFEM con ejemplos simples.

Una vez comprendido el problema, se buscó una solución al mismo. Dentro de esta etapa se pueden incluir la búsqueda de herramientas, el análisis y el diseño de la aplicación. Se mantuvieron las reuniones con los tutores, evaluando herramientas y enseñando prototipos realizados a modo de prueba. Se investigaron lenguajes y librerías de programación 3D, tanto de escritorio como web, decidiendo en última instancia utilizar WebGL (se hablará más en detalle en el siguiente Capítulo).

Conforme transcurría el tiempo, las reuniones se fueron enfocando cada vez más en el producto final, comenzando a definir las funcionalidades y características del mismo. Mientras se mantenía contacto con los tutores, se realizó la definición de casos de uso, al tiempo que se definió la arquitectura del sistema en base a los requerimientos obtenidos y las prestaciones de las herramientas definidas.

Finalmente, para las etapas de implementación y testeo, se creó un repositorio en Github con el esqueleto de la aplicación y todo código reusable proveniente de la etapa de prototipación. Como metodología de trabajo se utilizó la metodología ágil Kanban[21]. Kanban es un método para gestionar el trabajo intelectual, con énfasis en la entrega justo a tiempo, mientras no se sobrecargan a los miembros del equipo. En este enfoque, el proceso, desde la definición de una tarea hasta su entrega al cliente, se muestra para que los participantes lo vean y los miembros del equipo tomen el trabajo de una cola. Se basa en la idea de visualizar lo que se está haciendo ahora, lo que se está terminando y lo que hay que hacer a continuación.

Existen diversas herramientas *online* de planificación y gestión de proyectos, tales como Jira[22] o TFS[23]. Sin embargo, debido a la poca cantidad de personas involucradas en el proyecto (2 desarrolladores y 2 tutores) y a que las tareas a realizar estaban bien definidas, se optó por utilizar una herramienta simple y natural: una planilla *online*. La misma se encontró en todo momento de libre

Descripción	Estado	Prioridad
Agregar la posibilidad de definir un material por defecto al dibujar barras	Resuelta	1
Agregar sprites y flechas a los nodos cuando se definen fuerzas o condiciones de desplazamiento	Resuelta	1
Agregar funcionalidad para "prender" y "apagar" grillas y fuerzas	Resuelta	2
Agregar funcionalidad Abrir Modelo / Guardar Modelo	En proceso	2
Agregar funcionalidad Nuevo Modelo, que limpia la escena y permite definir las nuevas unidades de medida	Para hacer	3

Figura 4: Planilla utilizando metodología Kanban

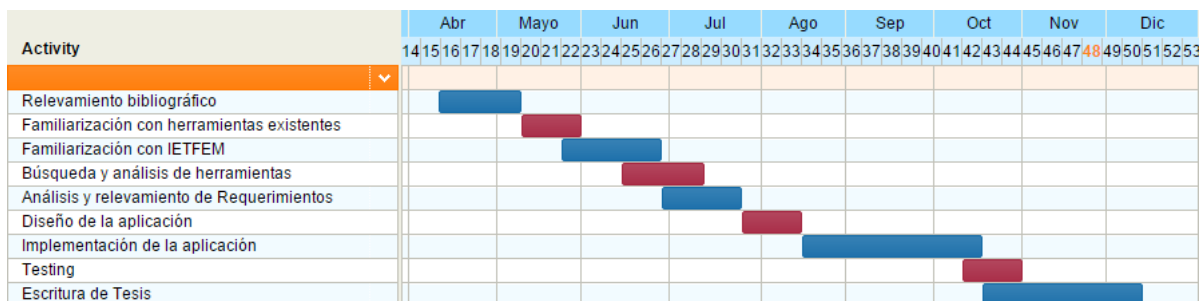


Figura 5: Diagrama de Gantt con la planificación del proyecto

501 acceso y modificación para los 4 participantes, y cada tarea tenía asignada una
502 descripción, un estado, y una prioridad.

503 En un principio, se agregaron todas las tareas a realizar, y ambos desarrolla-
504 dores tomaban cada una de ellas marcando su estado como «En proceso». Una
505 vez finalizada, se marcaba la tarea como terminada y se subían los cambios al
506 repositorio, marcando cada subida con la funcionalidad correspondiente.

507 A su vez, los tutores, los cuáles también tenían acceso a la última versión del
508 IETFEM, iban relevando en la misma planilla problemas o cosas a mejorar que
509 se encontraban en el producto, los cuáles pasaban a ser parte de la «pizarra de
510 Kanban» y seguían el mismo flujo que las demás tareas.

511 Se puede ver la planilla mencionada en un instante de tiempo en la Figura 4

512 3.3. Estimación y esfuerzo efectivo

513 La planificación del proyecto se realizó tomando en cuenta el desconocimiento
514 inicial del problema de cálculo de estructuras y la dificultad de la programación
515 gráfica en 3D. En la Figura 5 se pueden ver las estimaciones realizadas calcu-
516 lando 15 horas de trabajo semanal por desarrollador. Se puede apreciar que el
517 período de trabajo se calculó entre los meses de abril y diciembre, logrando un
518 total de 34 semanas de trabajo, que se traducen en un total de 1020 horas de
519 trabajo. Se considera el tiempo estimado dentro del rango de lo aceptable para
520 el desarrollo de un sistema de mediano-gran porte como el se desea.

Podemos ver también que ciertas etapas se planificaron en simultáneo por ciertos períodos de tiempo, especialmente en las etapas tempranas del proyecto donde se comenzó utilizando y comprendiendo tanto el IETFEM como otras herramientas, mientras se iba definiendo al mismo tiempo cómo realizar la interfaz. Se planificó de esta manera debido a que se consideró que sería bueno evaluar varias herramientas en simultáneo, a modo de comparar y definir qué funcionalidades y características nos gustaría que estén presentes en el sistema. También evaluar cómo llevarlas a cabo utilizando las herramientas que existen en el mercado y el contexto académico en el cuál se quiere insertar la aplicación.

Se observa en la Figura 5 la concurrencia de tareas en los instantes finales del desarrollo, donde se planificó al mismo tiempo el *testing* y la escritura de la Tesis. Debido a la metodología ágil elegida y al tiempo estipulado, resulta conveniente que el testeado de la aplicación comience cuanto antes, ya que corregir un error pasará a ser parte de la cola de tareas, y dependiendo de la prioridad de la misma podría ser resuelta antes que otras tareas menos prioritarias definidas anteriormente. La escritura de la Tesis se planificó en simultáneo simplemente para intentar reducir el tiempo total del proyecto.

El cronograma estimado se realizó de manera exitosa, siguiendo cada etapa en el orden estipulado sin demoras excesivas. Como agregado, durante la implementación se descubrieron nuevas funcionalidades que serían útiles en el sistema, las cuales fueron evaluadas con los tutores y algunas de ellas se llevaron a cabo sin problemas, debido a que la metodología de trabajo lo permitía.

También es necesario destacar el tiempo invertido en la Ingeniería de Muestra a fines del mes de Octubre, el cuál contempló el diseño de carteles, presentación del proyecto y la propia presencia en el evento. Esto redujo unos días el tiempo estipulado para la escritura de la Tesis, el cuál se intenta recuperar durante el mes de noviembre aumentando la cantidad de horas a un promedio de 20 semanales por desrrollador dedicadas a dicha tarea.

4. Presentación de la solución

En esta sección se describe la solución propuesta para el problema planteado, describiendo cada aspecto de la misma y cómo fue realizada cada una de sus funcionalidades. Se detallan además las decisiones que fueron tomadas durante el proceso de análisis y diseño de la aplicación.

4.1. Análisis y relevamiento de requerimientos

Desde un principio se supo que IETFEM era una herramienta robusta, ofreciendo una solución para diferentes problemas posibles. En este sentido, el relevamiento de requerimientos se convirtió en una tarea delicada en dónde debía

559 definirse un número acotado de funcionalidades, para un número acotado de la
560 totalidad de problemas que IETFEM podía resolver.

561 Luego de concretar varias reuniones con los tutores, se decidió que la interfaz
562 permita resolver problemas de estructuras reticuladas, es decir, estructuras for-
563 madas por una serie de barras entrecruzadas y conectadas entre sí por medio
564 de nodos articulados. Esto implica que para dibujar una estructura desde la
565 interfaz, el usuario sólo tenga que colocar nodos y barras.

566 El estudiante coloca los nodos en el espacio 3D, y luego define barras entre 2
567 nodos ya dibujados, asignando para cada barra un material que la conforma y
568 el área de su corte transversal, al que llamaremos sección, ambos previamen-
569 te definidos. También pueden definirse ciertas propiedades para cada nodo, en
570 particular, pueden definirse fuerzas aplicadas al mismo, condiciones de despla-
571 zamiento y resortes.

572 Una vez finalizado el proceso de dibujado, se extrae la estructura en un forma-
573 to reconocible por el motor, se ejecuta el mismo, y se analizan los resultados
574 obtenidos.

575 Destacamos además como funcionalidades secundarias la posibilidad de definir
576 grillas auxiliares con motivo de facilitar el ingreso de datos y la posibilidad de
577 ocultar elementos adicionales, como por ejemplo, los vectores indicadores de
578 fuerzas aplicadas.

579 Basándonos en esta realidad, se definieron los siguientes casos de uso:

- 580 ■ **Alta, Baja y Modificación de Materiales:** Los materiales se definen
581 en base a 5 propiedades: Nombre, Modulo de Young, $\Gamma(\gamma)$, $\alpha(\alpha)$
582 y $\nu(\nu)$.
- 583 ■ **Alta, Baja y Modificación de Secciones:** La sección es el corte trans-
584 versal de una barra, y para este tipo de problemas solo interesa conocer
585 su área.
- 586 ■ **Alta, Baja y Modificación de Nodos:** Cada nodo tiene asignado un
587 conjunto de coordenadas espaciales (x, y, z) . Además es posible asignar
588 al mismo una fuerza aplicada, así tambien como condiciones de despla-
589 zamiento y resortes en cada coordenada.
- 590 ■ **Alta, Baja y Modificación de Barras:** Cada barra tiene asignado un
591 nodo inicial, un nodo final, un material y una sección.
- 592 ■ **Crear grilla:** Son «cuadrículas» auxiliares que facilitan el proceso de
593 dibujado. Para cada coordenada se define la cantidad de líneas auxiliares
594 y la separación entre ellas.
- 595 ■ **Modificar Visualización de Propiedad:** Los nodos con propiedades
596 definidas, como por ejemplo fuerzas aplicadas o resortes, son marcados
597 en la pantalla con vectores o geometrías básicas para ser diferenciados

598 del resto. Esta funcionalidad permite ocultar, mostrar y escalar dichos
599 elementos a gusto del usuario.

600 ■ **Nueva Estructura:** Permite limpiar la pantalla para comenzar una nueva
601 estructura.

602 ■ **Abrir y Guardar Estructura:** Se busca la posibilidad de obtener un
603 archivo con la estructura dibujada, de manera de poder seguir con el tra-
604 bajo realizado en otro momento. También es deseable la carga de dicho
605 archivo en la interfaz, obteniendo la misma estructura en la que se estaba
606 trabajando al momento de guardar.

607 ■ **Generar Especificación:** A partir del dibujo realizado, se genera un archi-
608 vo reconocible por el motor de cálculo con la especificación de la estructura

609 ■ **Procesar Resultado:** Se trata de procesar el archivo resultante del motor
610 y actualizar la pantalla con la estructura deformada.

611 ■ **Escalar Deformada:** Debido a que en algunos casos los desplazamientos
612 pueden ser tan pequeñas que pueden parecer imperceptibles a la vista, se
613 incluye este caso de uso con el fin de «exagerar» los desplazamientos y
614 poder apreciar mejor los resultados obtenidos.

615 ■ **Colorear Estructura:** Al igual que la funcionalidad anterior, este caso
616 de uso aplica a los resultados obtenidos del motor. Se trata de colorear la
617 estructura en base a los datos obtenidos (por ejemplo, pintar de un color las
618 barras que se comprimen y de otro las que se estiran). También se busca
619 transparentar la estructura original o la deformada, para poder apreciar
620 mejor los cambios entre una y otra.

621 En el anexo A se incluye la especificación de cada caso de uso descripto.

622 Puede apreciarse el Modelo de Dominio definido en la Figura 6. Como observa-
623 ciones, se destaca la presencia de la entidad «Deformada», la cuál puede existir
624 o no de acuerdo a si ya se procesaron los resultados obtenidos del motor o si
625 se encuentra en el proceso de dibujado. De esta acotación se desprende el «por
626 qué» de la relación 0..1 - 1 entre las entidades «Deformada» y «Estructura»:
627 mientras se dibuja la estructura todavía no se tiene una deformada definida.

628 El resto del modelo se encuentra considerablemente intuitivo y adecuado a la
629 realidad planteada.

630 4.2. Diseño de la solución

631 Finalizado el relevamiento de requerimientos y correspondiente análisis, se pro-
632 siguió con la etapa de diseño, donde se tomaron decisiones importantes tanto a
633 nivel de diseño tecnológico como en la estructura propia de la aplicación.

634 Desde las primeras reuniones que se tuvieron con los tutores, el objetivo princi-
635 pal fué lograr una aplicación académica. De esta manera, se tuvo como prioridad

660 estar desarrollado en GNU-Octave, permite al estudiante ver el funciona-
661 miento interno del código (o incluso programar nuevos cálculos de acuerdo
662 a sus necesidades), enriqueciendo el proceso de aprendizaje. Dichas caracte-
663 rísticas se quieren mantener en la nueva solución.

- 664 ■ Se busca reusabilidad en el código de la aplicación, ya que en un futuro
665 se pretende evolucionar la herramienta a un nivel profesional, donde se
666 pretende que la misma posea diferentes características (por ejemplo, no
667 sería deseable en un sistema profesional que se pueda acceder al código
668 del motor de cálculo directamente).

669 Tomando en cuenta las mencionadas premisas, la solución propuesta consistió en
670 desarrollar la interfaz como una herramienta web. Sin embargo, no se desplegará
671 la misma en un servidor, sino que se encapsulará la misma en un *framework*
672 que permita ejecutar la misma como una aplicación de escritorio. A ojos del
673 estudiante, la aplicación parecerá ser de escritorio.

674 Una vez finalizado el dibujado de la estructura, el estudiante podrá generar un
675 archivo con la especificación de la estructura, el cual podrá ingresar en el motor
676 de cálculo de manera manual. Luego, puede desde la interfaz procesar la salida
677 del motor para observar sus resultados.

678 De esta manera se logran las siguientes características:

- 679 ■ Para la versión inicial, es decir, la versión académica, se ahorra la utiliza-
680 ción de un servidor, ya que cada sistema ejecutará en la máquina de cada
681 estudiante. Esto implica que el mantenimiento a posteriori sea nulo por
682 parte de los tutores una vez finalizado el proyecto.
- 683 ■ Se desacoplan el motor y la interfaz, o sea, el estudiante puede visualizar
684 los cálculos realizados en el motor, o incluso programar nuevos, sin nece-
685 sidad de tocar el código de la interfaz. Es más, el archivo generado por la
686 interfaz será en un formato legible, lo que hace que el estudiante pueda
687 editar el archivo en caso de agregar cálculos nuevos.
- 688 ■ A su vez, esta solución no solo permite agregar cálculos nuevos a los estu-
689 diantes, sino que permite que el desarrollo del motor siga avanzando sin
690 entorpecer la interfaz.
- 691 ■ Se obtiene un código totalmente reusable, ya que si en el futuro se quiere
692 evolucionar la herramienta como un producto profesional en la nube, sólo
693 basta con desplegar el código de la aplicación en un servidor.

694 De esta manera, la herramienta cumple con todas las especificaciones deseadas
695 por los tutores, manteniendo las características positivas de la misma, y a su
696 vez, potenciando la misma en vista de conseguir los objetivos planteados sobre
697 mejorar la eficiencia y la usabilidad.

698 Finalmente, de acuerdo a las pautas establecidas en la sub-sección anterior, el
699 flujo de la aplicación queda establecido como se muestra en la Figura 7. Los
700 pasos 2 y 3 se anotan como opcionales debido a que el usuario puede cargar una

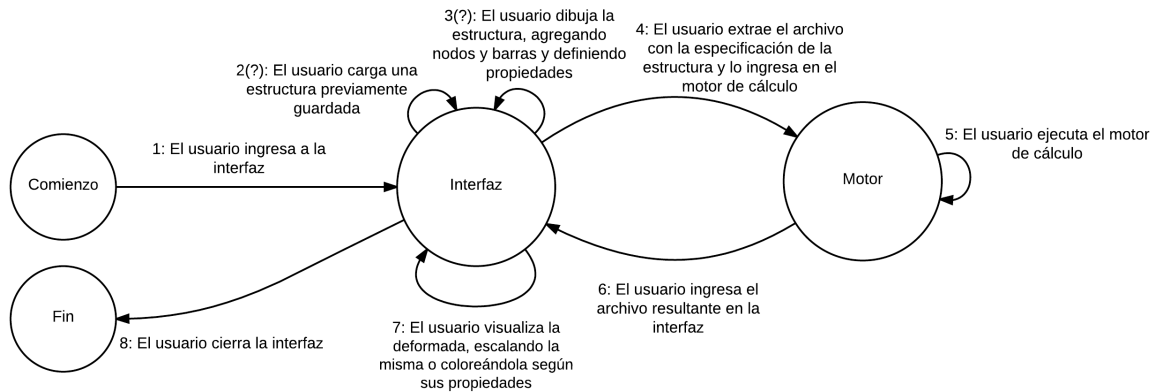


Figura 7: Flujo principal de la aplicación

701 estructura guardada como dibujar una nueva. Incluso podría realizar ambas,
702 editando una estructura guardada antes de ejecutar el motor

703 De acuerdo a los casos de uso relevados, se distribuyeron las funcionalidades
704 requeridas en diferentes módulos. Cada uno de estos módulos o subsistemas
705 encapsula operaciones que se relacionan de alguna manera, logrando un nivel
706 bajo de acoplamiento entre cada uno de ellos. Se hablará en detalle de cada
707 subsistema en la siguiente sección.

708 4.3. Arquitectura

709 La arquitectura de la aplicación sigue el clásico patrón MVC (Modelo-Vista-
710 Controlador), donde el usuario se encuentra permanentemente interactuando
711 con el sistema, modificando el Modelo (en este caso, la estructura) y visualizando
712 el mismo en el espacio 3D, al que llamaremos Escena.

713 Como se puede ver en la Figura 8, se agruparon los casos de uso relacionados
714 con el fin de crear diferentes subsistemas encargados de realizar cierto tipo de
715 funcionalidades. Cada una de estas componentes, ofrece al usuario diferentes
716 operaciones que afectan tanto el modelo de la estructura que se mantiene al-
717 macenado en la aplicación como lo que se está viendo en el espacio 3D. Por tal
718 motivo, se crearon las componentes «Modelo» y «Escena», las cuáles uniformi-
719 zan todas las operaciones básicas que se hacen en el modelo de la estructura,
720 y en el dibujo en la escena, respectivamente. Además se destaca el subsistema
721 «Cámara», el cual se relaciona directamente con la escena, encargado de los
722 movimientos del usuario dentro del espacio 3D (Rotación y Desplazamiento) y
723 el subsistema «Deformada», el cual maneja las operaciones básicas que se hacen
724 en la estructura deformada.

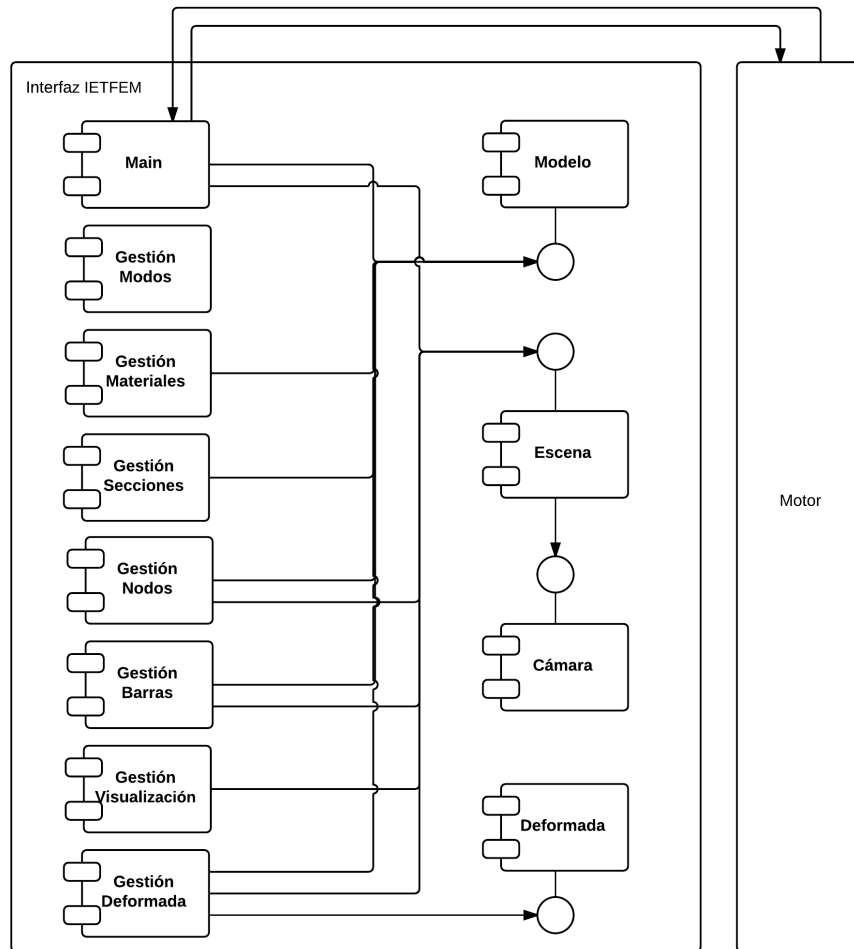


Figura 8: Diagrama de componentes de IETFEM UI

725 Finalmente, las operaciones que puede realizar el usuario se dividen en 8 sub-
726 sistemas que se describen a continuación:

727 **Main:** Subsistema encargado de realizar la inicialización correcta del sistema.
728 Contiene las operaciones relativas a todo el contexto de la aplicación: Cargar
729 o guardar una nueva estructura, extraer la especificación de la estructura para
730 el motor, y procesar el archivo con los resultados obtenidos. Por último, se
731 encarga de la creación de las grillas auxiliares, ya que se considera una operación
732 relativamente pequeña y poco relevante en el modelo de la estructura como para
733 separarse en un módulo propio.

734 **Gestión Modos:** Debido a la necesidad de incluir diferentes características en
735 interacción directa con la escena, se decidió mantener la aplicación en diferentes
736 estados o modos. De esta manera, por ejemplo, un click en la escena realizará
737 diferentes acciones dependiendo de en qué modo se encuentre el usuario. Este
738 pequeño módulo se encarga de gestionar adecuadamente el estado actual y el
739 pasaje entre diferentes estados.

740 **Gestión Materiales:** Este subsistema mantiene la creación, modificación y
741 eliminación de Materiales. Debido a la naturaleza de la característica, se accede
742 al mismo mediante un formulario en un menú superior, donde se definen las
743 propiedades de cada material.

744 **Gestión Secciones:** Este subsistema mantiene la creación, modificación y eli-
745 minación de Secciones. Al igual que en con los materiales, la interacción con
746 dicho módulo se lleva a cabo mediante un formulario.

747 **Gestión Nodos:** Este subsistema mantiene la creación, modificación y elimi-
748 nación de nodos. Los nodos pueden agregarse haciendo click en la escena o
749 ingresando sus coordenadas manualmente. También se ofrece un formulario en
750 donde se pueden agregar propiedades a los nodos: Fuerzas, Condiciones de des-
751 plazamiento y Resortes. Además, cada una de estas propiedades agrega a la
752 escena diferentes elementos que indican el valor de cada una de ellas:

- 753 ■ Si se define en el nodo una fuerza aplicada, se dibuja su correspondiente
754 vector apuntando a ese nodo.
- 755 ■ Si se define en el nodo una condicion de desplazamiento en alguna de sus
756 coordenadas, se dibuja una pequeña pirámide de color rojo donde su eje
757 principal tiene la dirección de la propia coordenda en que se define.
- 758 ■ Si se define en el nodo un resorte en alguna de sus coordenadas, se dibuja
759 una pequeña pirámide de color gris donde su eje principal tiene la dirección
760 de la propia coordenda en que se define.

761 **Gestión Barras:** Este subsistema mantiene la creación, modificación y elimi-
762 nación de barras. Las barras se agregan directamente en la escena, seleccionando
763 un nodo inicial y un nodo final. También debe tener asignado un material y una
764 sección, los cuales deben estar previamente definidos y pueden ser seteados una
765 vez dibujada la barra. Se ofrece además la opción de definir propiedades «por

defecto», es decir, se elige un material y una sección, y todas las proximas barras que se dibujen tendrán seteadas dichas propiedades.

Gestión Visualización: Módulo encargado de gestionar la visualización de elementos indicativos en la escena, es decir, muestra u oculta los vectores, resortes y condiciones de desplazamiento definidos en la estructura. También ofrece la posibilidad de escalar los vectores presentes en la escena, de manera de no entorpecer la imagen cuando las fuerzas aplicadas son muy grandes.

Gestión Deformada: Subsistema encargado de gestionar la deformada obtenida del procesamiento de resultados. Ofrece operaciones para visualizar la estructura deformada, escalar deformaciones y colorear la estructura en base a los resultados.

Cada uno de estos subsistemas interactúa con los módulos «Escena», «Modelo» y «Deformada» de acuerdo a sus necesidades:

Modelo: Expone operaciones básicas para modificar el modelado de la estructura que se está ingresando. Cada vez que otro módulo necesite ingresar, modificar o eliminar un nodo, barra, material o sección, llamará a funciones contenidas en este módulo.

Deformada: Expone operaciones básicas para interactuar con la estructura deformada obtenida. Cada vez que el módulo de «Gestión Deformada» deba mover, colorear o transparentar un nodo o barra, se utilizarán funciones expuestas en este módulo

Escena: Expone operaciones básicas para interactuar con el espacio 3D. Cada vez que otro módulo necesite agregar o eliminar cualquier tipo de elemento del espacio 3D, se invocarán funciones expuestas en este módulo

Cámara: Mantiene el manejo de la cámara en la escena. Ejecuta funciones de desplazamiento, rotación y zoom.

De esta manera se define el sistema «IETFEM UI», el cuál interactúa con el sistema «IETFEM Core», que contiene el motor de cálculo, para totalizar lo que sería el IETFEM.

En la Figura 9 se puede preciar la distribución física de la versión estudiantil, donde todo se ejecuta en la máquina del usuario. Se observa la interfaz corriendo sobre un framework que simula ejecutar una aplicación de usuario, y el motor de cálculo en GNU-Octave, comunicándose manualmente mediante la acción del usuario.

En la Figura 10, se aprecia una posible distribución física para una posterior versión, en donde se propone separar físicamente la interfaz del motor. De esta manera se logra una mayor escalabilidad al poder replicar N servidores Web utilizando el mismo motor de cálculo. Se propone desplegar la interfaz en un servidor Web, mediante la cuál el usuario accede utilizando el protocolo estándar HTTP. El usuario dibuja la estructura de la misma manera que se realiza en la versión académica, pero al momento de ejecutar el motor, se consume un servicio

807 REST expuesto por un servidor de aplicación en donde se encuentra corriendo
808 el motor de cálculo, el cual provee a la interfaz con la estructura deformada.
809 Esto implica que el usuario sólo tenga que presionar un botón para deformar la
810 estructura, evitando el proceso de comunicación manual.

811 4.4. Tecnologías y herramientas utilizadas

812 4.4.1. HTML5 - JavaScript - CSS3

813 Existen ciertas tecnologías estándar e ineludibles al momento de desarrollar una
814 aplicación web. Éstas son HTML5[24], JavaScript[25] y CSS3[26]. A continua-
815 ción se describen brevemente las mismas.

816 **HTML** es un lenguaje de marcado para la elaboración de páginas web. Es un
817 estándar que sirve de referencia para su elaboración, definiendo una estructura
818 básica y un código para la definición de contenido como texto, imágenes, videos,
819 entre otros. En la actualidad se encuentra en su versión 5 la cual establece una
820 serie de funcionalidades, elementos y atributos que reflejan el uso típico de los
821 sitios web modernos.

822 **JavaScript**, abreviado comúnmente «JS», es un lenguaje de programación
823 interpretado, dialecto del estándar ECMAScript. Se define como orientado a
824 objetos, basado en prototipos, imperativo, débilmente tipado y dinámico. Se
825 utiliza principalmente del lado del cliente implementado como parte de los na-
826 vegadores web, permitiendo mejoras en la interfaz de usuario y aplicaciones web
827 dinámicas. Es el estándar de facto para scripting en la web y es interpretado por
828 todos los navegadores web.

829 **CSS**, actualmente en la versión 3, es un lenguaje de estilos que define la pre-
830 sentación de los documentos HTML. Esto abarca cuestiones relativas a fuentes,
831 colores, márgenes, altura, ancho, posicionamiento, etc. Una hoja de estilos fue
832 utilizada en el proyecto con el fin de definir algunos estilos de menús y for-
833 mularios, esto es en aquellos no definidos o para personalizar los definidos en
834 Bootstrap.

835 4.4.2. Bootstrap

836 Bootstrap [27] es un «*front-end framework*» *open source*, es la más popular de
837 las librerías HTML, CSS y JS para el desarrollo de páginas web *responsive* y
838 *mobile first*, diseñado para ayudar a construir componentes de la interfaz de
839 usuario.

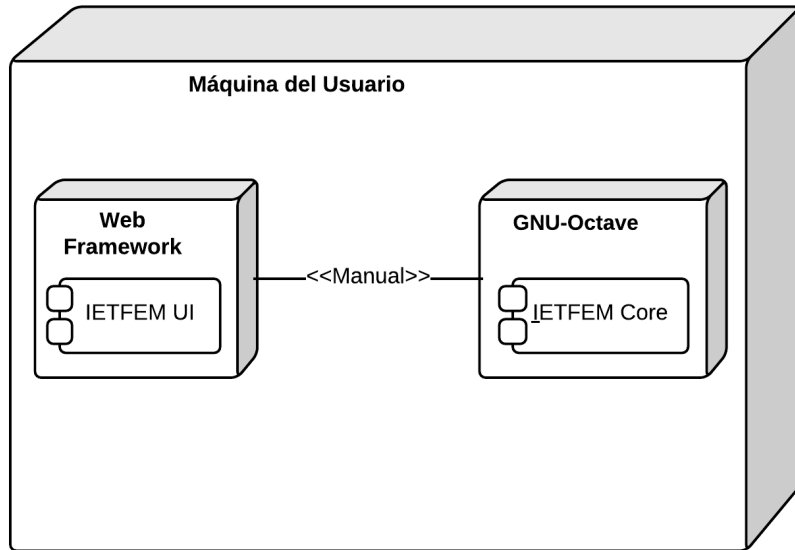


Figura 9: Diagrama de distribución física: IETFEM Estudiantil

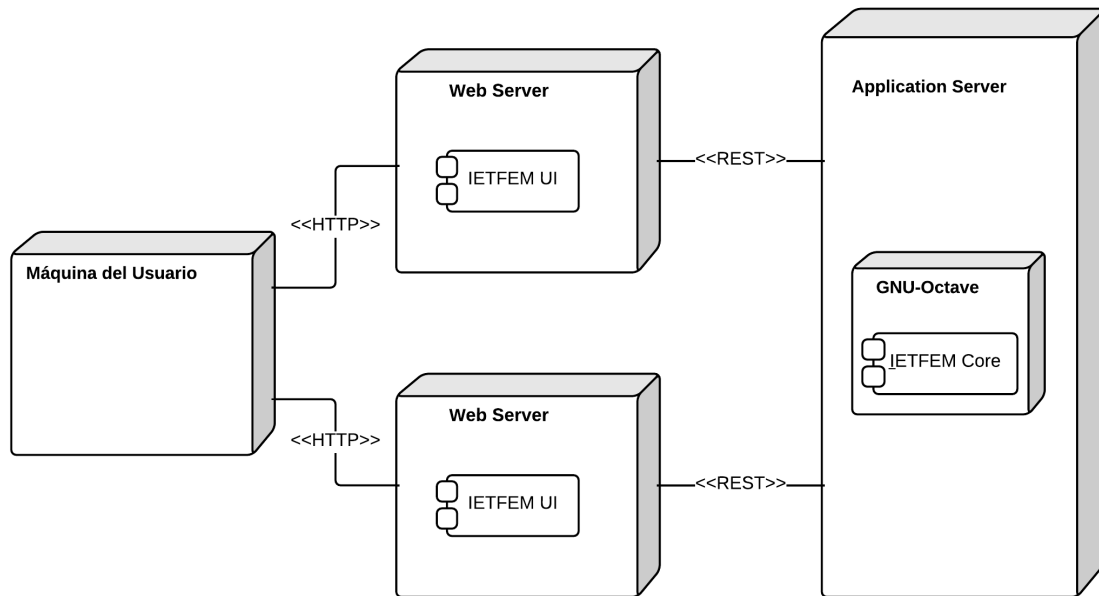


Figura 10: Diagrama de distribución física: IETFEM en la nube

840 Las principales características del *framework* - las cuales fueron ampliamente
841 utilizadas en el proyecto - son:

- 842 ■ Sistema de grillas *responsive* para posicionar todos los elementos de la
843 página de una manera sencilla.
- 844 ■ Estilos para controles de HTML.
- 845 ■ Componentes personalizados.
- 846 ■ Componentes JavaScript (Ej. Modals).

847 4.4.3. AngularJS

848 Es un *framework open source* mantenido por Google que tiene como objetivo
849 solucionar los principales problemas encontrados en el desarrollo de aplicaciones
850 web dinámicas.

851 AngularJs [28] propone la utilización de programación declarativa para las inter-
852 faces de usuario y programación imperativa para lógica de negocio. Implementa
853 el patrón MVC para separar la presentación, datos y lógica. Todo esto da como
854 resultado una aplicación prolija y testeable a nivel de código.

855 Principales características utilizadas:

- 856 ■ *emphTwo way data-binding*: esto permite mantener el modelo y la vista
857 (DOM) sincronizados sin necesidad de escribir código especial para man-
858 tener dicha sincronización.
- 859 ■ MVC.
- 860 ■ Directivas: sirven para agregar funcionalidad a HTML mediante tags HTML,
861 tanto *built-in* como personalizados.

862 4.4.4. ThreeJs

863 Dada la elección de realizar una solución web, la clara superioridad de WebGL
864 para las características gráficas, sumado a la baja productividad y dificultad de
865 desarrollo directamente sobre él, resultó necesario elegir un *framework* que lo
866 abstraiga.

867 En este sentido se decidió por ThreeJs por ser un proyecto activo, con la mayor
868 cantidad de funcionalidades, buena documentación y una gran comunidad.

869 En la sección 2.4.3 se describieron las características principales de este tipo de
870 librerías.

871 4.4.5. Electron

872 Es un *framework* que permite escribir aplicaciones de escritorio multiplataforma
873 usando HTML, JavaScript y CSS.

874 Esta herramienta permitió distribuir la aplicación de una manera más elegan-
875 te que en una carpeta con código y un archivo HTML para ejecutarlo en un
876 navegador local. A los ojos de los usuarios el producto final es una aplicación
877 nativa corriendo transparentemente una implementación mínima del navegador
878 Chromium, solucionando así también posibles problemas de compatibilidad con
879 algunos navegadores.

880 4.5. Manejo del espacio 3D

881 4.5.1. Eventos de usuario

882 El espacio 3D ocupa la mayor parte de la pantalla, y es donde se espera que el
883 usuario realice la mayor parte de interacciones posibles. Se busca que el usuario
884 pueda manejar la escena mediante el uso del mouse, por lo tanto, al inicializar
885 la aplicación se setean *EventListeners* a la ventana para cada tipo de acción
886 con el mouse. Esto significa que la aplicación estará pendiente de todos los
887 movimientos del mouse dentro de la escena. En particular, se tiene en cuenta el
888 movimiento de la cámara y en qué modo se encuentra la aplicación

889 Los eventos definidos son los siguientes:

- 890 ■ Para el click izquierdo:
 - 891 • Si el mismo se presiona y suelta en el mismo lugar:
 - 892 ○ Si se encuentra en modo agregar nodos, y se hace el click encima
 - 893 de un punto de una grilla definida, se agrega el nodo.
 - 894 ○ Si se encuentra en modo agregar barras, y se hace el click encima
 - 895 de un nodo, se selecciona el mismo para agregar una barra desde
 - 896 o hacia él.
 - 897 ○ Si se encuentra en modo seleccionar, y se hace el click sobre
 - 898 un nodo o barra, se selecciona el elemento para modificar sus
 - 899 propiedades.
 - 900 ○ Si se encuentra en otro modo, no realiza ninguna acción.
 - 901 • Si el mismo se presiona y se arrastra, se rota la cámara, siempre
 - 902 apuntando al centro de la escena (sin importar el modo).
- 903 ■ Para el click derecho, se desplaza la cámara en dirección a donde se arrastre
- 904 (sin importar el modo).

- 905 ■ Para el scroll del mouse, se hace zoom in o zoom out dependiendo de la
- 906 dirección del movimiento (sin importar el modo).
- 907 ■ Para el movimiento del mouse, cuando no se presiona nada, se resalta en
- 908 color celeste los nodos o barras a los cuáles se les hace Hover (sin importar
- 909 el modo).

910 **4.5.2. Adición, sustracción y transformación de objetos**

911 El espacio 3D desarrollado se implementó como un objeto de ThreeJs denomina-
 912 do *Scene*, el cual provee operaciones *add()* y *remove()* para agregar y eliminar
 913 objetos del mismo. Internamente, una *Scene* contiene una gran cantidad de
 914 atributos, entre los que se encuentran la posición, rotación, escalamiento por
 915 coordenada, y una lista de objetos en donde se almacenan los elementos que
 916 conforman la escena.

917 Una vez definida la escena se agregan los primeros elementos: se utiliza el objeto
 918 *GridHelper* provisto por ThreeJS para definir una grilla auxiliar y se agregan 3
 919 vectores definiendo los ejes *x*, *y* y *z*.

920 El resto de los objetos que se agregan a la escena se definen como objetos *Mesh*
 921 de ThreeJS, definidos por una geometría y un material:

- 922 ■ La geometría de un objeto define su figura geométrica, define si se trata
- 923 de un cilindro, una esfera, etc.
- 924 ■ El material de un objeto define cómo se ve el mismo en pantalla, es decir,
- 925 su color, transparencia, escalamiento, etc.

926 Para representar los nodos se decidió utilizar esferas y para representar las barras
 927 se decidió utilizar cilindros. Esta decisión se basa en que son figuras geométricas
 928 fácilmente escalables, es decir, si se quiere cambiar el tamaño de un nodo o
 929 barra, solo basta con cambiar el radio de su geometría. Por ejemplo, cuando
 930 se selecciona un nodo para modificar sus propiedades, el mismo aumenta su
 931 tamaño y cambia su color. Esto se logra siguiendo el siguiente proceso:

- 932 1. Se obtiene el objeto que se quiere modificar de la lista de objetos de la
- 933 Escena.
- 934 2. Se genera una nueva geometría, en este caso, una esfera más grande.
- 935 3. Se genera un nuevo material, en este caso, el mismo que existía pero con
- 936 un color diferente.
- 937 4. Se asignan el material y la geometria nuevos al objeto obtenido en el paso
- 938 1.
- 939 5. Se renderiza la imagen.

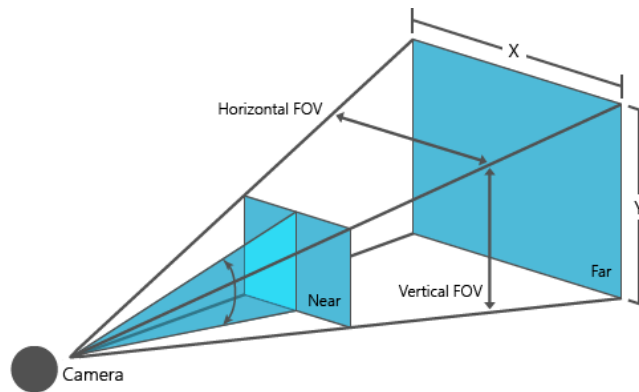


Figura 11: Definición de la cámara en ThreeJS

El renderizado se ejecuta cada vez que se realiza una acción en la escena. Esto significa que cada vez que un usuario modifica la estructura, los cambios quedan inmediatamente reflejados en el espacio 3D. De esta manera logramos una experiencia fluida y totalmente interactiva de dibujado donde la manipulación de la estructura se vuelve una tarea sencilla e intuitiva.

4.5.3. Manejo de la cámara

Una de las prestaciones más grandes que fue percibida en ThreeJS al momento de la investigación fue el sencillo manejo de la cámara. Three provee de un objeto denominado *Camera*, el cuál se define asignando el tamaño del *viewport*, hacia dónde apunta, los planos «*near*» y «*far*» que determinan qué objetos se ven dependiendo de su distancia a la cámara, etc (véase la Figura 11). Incluso permite definir el tipo de perspectiva en que se visualizará el resto del espacio. Una vez definida se setea la misma a la escena, logrando de esta sencilla manera obtener la visualización del espacio 3D.

Hasta el momento, sólo se colocó la cámara en el espacio, sin resolver aún el problema del movimiento de la misma. Aquí es donde entran en juego los llamados «*Controls*». ThreeJS ofrece en su página web y de manera libre diferentes tipos de controles para la cámara, es decir, movimientos que pueden ser asignados a la misma. En particular, el control *OrbitControls* cumple con todas las características que se buscan para la interfaz: permite rotar la cámara y desplazarla por todo el espacio. Por lo tanto se agregó dicha clase al proyecto y se seteo a la cámara previamente definida.

Al observar la simplicidad del manejo de la cámara utilizando esta herramienta web, se decidió agregar otro juego de cámara-escena en la esquina inferior, la cual siempre apunta a los ejes e imita los movimientos de rotación de la principal, de manera de mantener una referencia al usuario en caso que deba alejarse

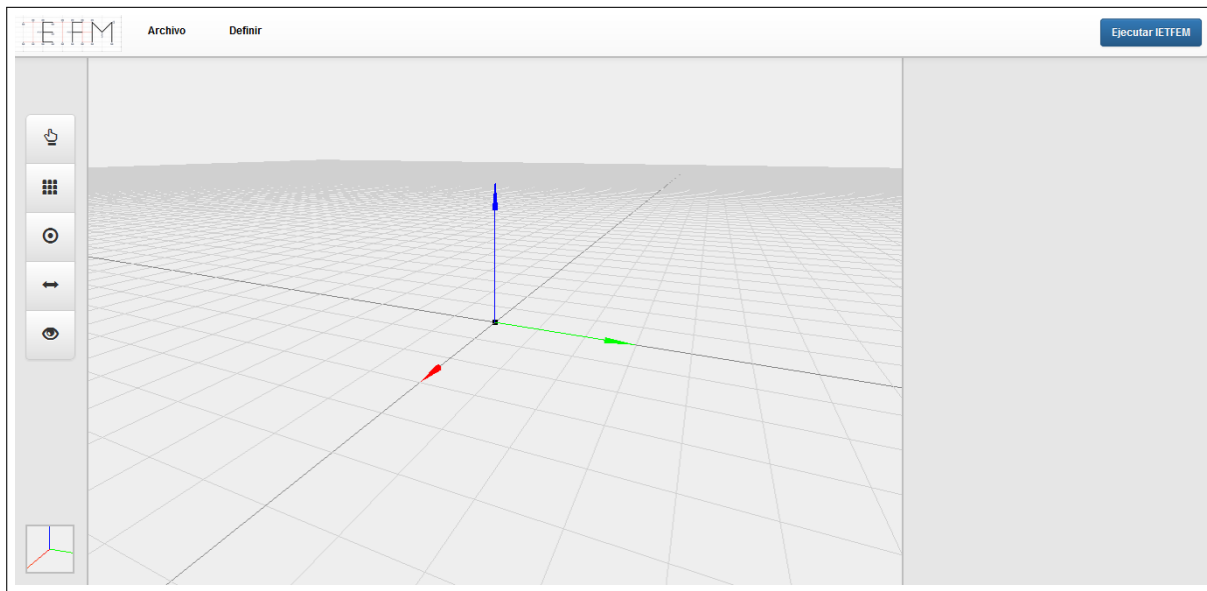


Figura 12: Visualización del Espacio desde la cámara en Perspectiva. También puede observarse la segunda cámara con los ejes en la esquina inferior izquierda.

966 demasiado del origen.

967 El resultado puede observarse en la Figura 12, se utilizó una cámara en pers-
968 pectiva en conjunto con los controles mencionados.

969 4.5.4. Trazado de rayos e intersecciones con objetos

970 El problema de la traza de rayos en la interfaz tomó una significativa importan-
971 cia, debido a que se quiere interactuar con un espacio 3D mediante una superficie
972 bidimensional como lo es la pantalla de una PC. Esto implica por ejemplo que
973 cuando uno hace click en la pantalla, en realidad no se está marcando un punto,
974 sino que se está trazando un rayo entre la cámara y la posición del click, por
975 lo tanto, no se sabe con exactitud en que coordenadas exactas quiere el usuario
976 agregar el nodo.

977 En este sentido, la definición de grillas auxiliares se establece como una solu-
978 ción excelente a este problema. Mediante esta funcionalidad, el cliente define
979 cuadrículas auxiliares que se dibujan en la pantalla, marcando líneas y nodos
980 levemente transparentados.

981 De esta manera, cuando el usuario hace clicks en la pantalla, se traza el corres-
982 pondiente rayo entre la cámara y la posición del click, y si ese rayo intersecta un
983 nodo de alguna grilla, entonces se agrega dicho nodo a la estructura. Dicha es-
984 trategia se utiliza también cuando el sistema se encuentra en modo seleccionar:

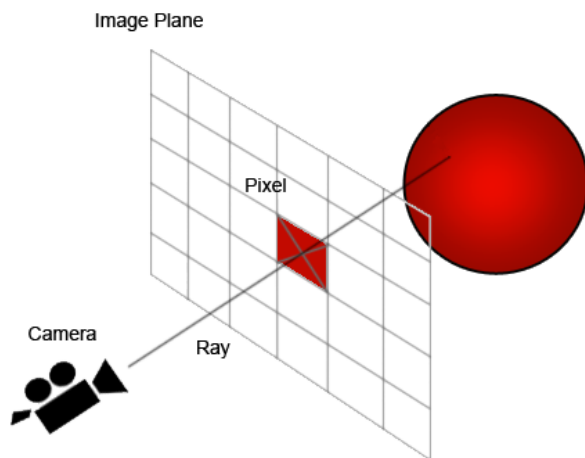


Figura 13: Ejemplo de traza de un rayo entre la cámara y el click del usuario

Se traza un rayo, y si intersecta con un nodo o barra, se destaca el elemento y se cargan sus propiedades para ser modificadas. En la figura 13 puede apreciarse el método descrito anteriormente

ThreeJS provee un objeto denominado *RayCaster* que traza un rayo dado un origen y un vector de dirección. Este objeto expone el método *intersects()*, que dada una lista de objetos, retorna la intersección del rayo con los mismos, obteniendo de esta manera el objeto al cual el usuario intenta referirse.

4.6. Manejo de datos

A pesar de que la estructura se visualiza de manera muy simple en el espacio 3D, se mantiene en segundo plano un complejo modelo que encapsula la información dibujada por el usuario. Es necesario mantener todos los nodos, barras, materiales, secciones, grillas y opciones que el usuario ingresó, ya que en un momento deberá extraer toda la información de la estructura para ingresar en el motor.

4.6.1. Entrada y mantenimiento de información

Como se ha mencionado en reiteradas ocasiones, el usuario puede ingresar la estructura ya sea dibujando una nueva como abriendo una previamente guardada. Cada vez que el usuario modifica elementos en la escena, los mismos cambios se realizan en el modelo que se almacena, manteniendo constante sincronización.

En la Figura 14 se puede observar la correspondencia entre el dibujo presentado

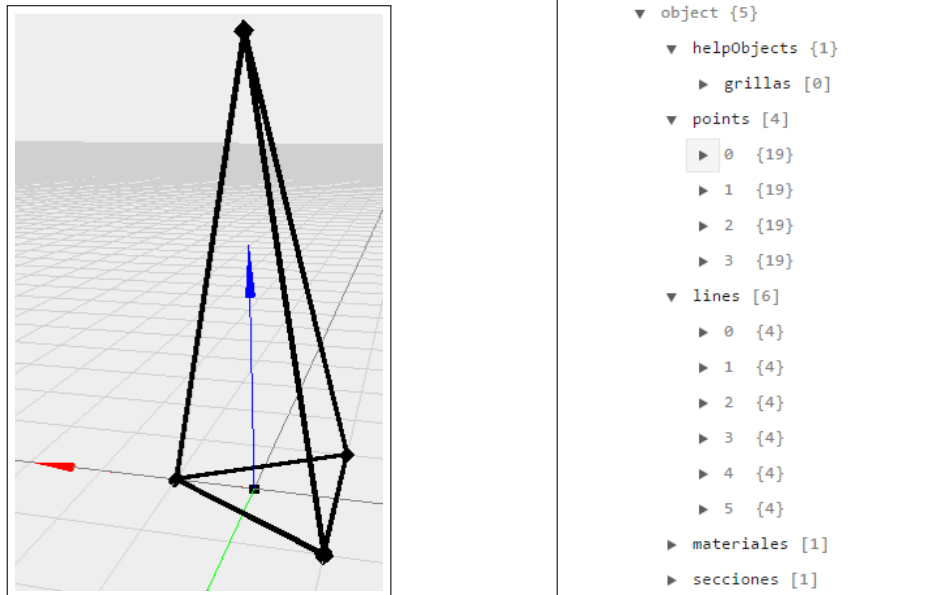


Figura 14: Correspondencia entre dibujo en la escena y el modelo mantenido en segundo plano

1005 al usuario y el modelo que se mantiene en segundo plano. Se observan los nodos,
 1006 barras, materiales, secciones y grillas definidas en el dibujo. Se hablará más sobre
 1007 cómo se almacena la estructura en la siguiente sección.

1008 La entrada de datos mediante el dibujo se realiza elemento por elemento. El
 1009 usuario siempre ingresa un nodo o barra a la vez, lo que hace que la sincroni-
 1010 zación entre la escena y el modelo sea realmente sencilla. Sin embargo, cuando
 1011 se carga una estructura previamente guardada, la misma se vuelve realmente
 1012 complicada, ya que debe limpiarse tanto la escena como el modelo y cargar
 1013 ambos con la nueva información, asegurándose de mantener la consistencia en-
 1014 tre los mismos. Esto se logra mediante una fuerte relación entre el módulo que
 1015 manipula el modelo y el que manipula la escena. Cada vez que se modifica cual-
 1016 quier aspecto de la estructura, se invocan operaciones de dichos módulos que
 1017 no sólo realizan el propio cambio, sino que aseguran mantener la consistencia
 1018 una vez finalizado. Esto significa, por ejemplo, que cargar una nueva estructu-
 1019 ra, se traduce internamente en una secuencia finita de llamados a operaciones
 1020 más sencillas como «Agregar nodo» o «Agregar barra» las cuales mantienen el
 1021 sistema en un estado de sincronía.

1022 4.6.2. Almacenamiento de la estructura

1023 Si bien en la escena provista por Three se almacenan todos los objetos contenidos
1024 en la escena, se consideró que debía mantenerse otro tipo de objeto en donde
1025 se almacenaran los datos ingresados por el usuario. Esta decisión se basa en
1026 que el objeto Escena puede ser difícil de manejar debido a la gran cantidad de
1027 atributos que posee, además de que sería necesario sobrecargar cada objeto de
1028 Three para agregar los atributos nuevos (propiedades de las barras y nodos).

1029 Básicamente, cada vez que se agrega un elemento a la escena, el mismo se agrega
1030 también al modelo. En particular se almacenan los siguientes aspectos:

1031 ■ Nodos:

- 1032 • Coordenadas x, y y z .
- 1033 • Valores de condiciones de desplazamiento para x, y, z .
- 1034 • Valores de resortes para x, y, z .
- 1035 • Fuerza aplicada en el punto (coordenadas x, y, z).
- 1036 • Id de la esfera dibujada en la escena correspondiente al nodo.
- 1037 • Id del vector dibujado en la escena correspondiente a la fuerza apli-
1038 cada en el nodo.
- 1039 • Id de cada pirámide dibujada en la escena que indica una condición
1040 de desplazamiento en el nodo.
- 1041 • Id de cada pirámide dibujada en la escena que indica un resorte en
1042 el nodo

1043 ■ Barras:

- 1044 • Id del nodo inicial.
- 1045 • Id del nodo final.
- 1046 • Id del cilindro dibujado en la escena correspondiente a la barra.
- 1047 • Material de la barra.
- 1048 • Sección de la barra.

1049 ■ Materiales:

- 1050 • Nombre.
- 1051 • Modulo de Young.
- 1052 • $\Gamma(\gamma)$.
- 1053 • $\alpha(\alpha)$.
- 1054 • $\nu(\nu)$.

1055 ■ **Secciones:**

1056 • $\text{Área}(\mu)$.

1057 ■ **Grillas:**

1058 • Id de cada objeto de la grilla dibujado en la escena (puntos y líneas).

1059 A modo de aclaración, se destaca la presencia en el modelo de los ids generados
1060 por Three para cada objeto generado en la escena. Esto se debe a que debe
1061 mantenerse una referencia entre cada elemento del modelo y su correspondiente
1062 objeto en la escena, ya que cualquier modificación que se realice debe aplicar
1063 a ambos. Por ejemplo, cuando se elimina un nodo, debe eliminarse tanto del
1064 modelo como de la imagen en el espacio 3D. En este caso el proceso sería:

1065 ■ El usuario hace click en un nodo.

1066 ■ Se traza un rayo entre la cámara y el pixel, el cuál intersecta con el nodo
1067 deseado.

1068 ■ Se obtiene el id del objeto en la escena.

1069 ■ Con ese id, se obtiene el objeto del modelo.

1070 ■ Se elimina el objeto del modelo.

1071 ■ Se elimina el objeto de la escena.

1072 ■ Se renderiza.

1073 **4.6.3. Salida de Datos**

1074 Una vez finalizado el proceso de dibujo, el usuario debe obtener un documento
1075 con la especificación de la estructura que pueda ser ingresado en el motor. Para
1076 comprender la solución propuesta, debe recapitularse hacia el uso del IETFEM
1077 antes de la realización de este proyecto.

1078 Los estudiantes ingresaban la estructura mediante un archivo de especificación
1079 en la que debían escribir la posición de cada nodo, la conectividad de cada uno
1080 de ellos, los materiales implicados, secciones, y otros aspectos de la estructura y
1081 de configuración. Esto debía hacerse además respetando un formato predefinido
1082 el cuál derivaba en un fallo del motor en caso de ser omitido, incluyendo saltos
1083 de línea y espacios para separar valores.

1084 De esta manera, resultaba sumamente tedioso para el estudiante lograr final-
1085 mente el texto correcto con la estructura deseada. Sin embargo esta propiedad
1086 del antiguo IETFEM resultó ser de suma utilidad, ya que, intentando reducir
1087 al máximo el trabajo realizado en el motor, se decidió utilizar el mismo archivo
1088 de entrada al mismo.

1089 Esto quiere decir que la interfaz toma la responsabilidad de generar el archivo
1090 de texto que antes debía escribirse a mano, a partir del dibujo realizado por

1091 el estudiante. La interfaz recorre cada aspecto del modelo definido y va con-
1092 feccionando un archivo .txt manteniendo el formato predefinido por el Motor.
1093 Además, mantiene un formato legible para el usuario, con títulos y nombres
1094 para cada propiedad a definir.

1095 4.7. Análisis de resultados del Core

1096 Hasta ahora se ha descrito cómo el usuario interactúa con el sistema para
1097 generar una estructura. Sin embargo, el sistema incluye además la funcionalidad
1098 de visualizar los resultados generados por el motor de cálculo, logrando un nivel
1099 aún más alto de amigabilidad.

1100 4.7.1. Generación de resultados

1101 IETFEM generaba, hasta antes de la presencia de la interfaz, diferentes imá-
1102 genes y gráficas correspondientes a la deformación resultante de la estructura
1103 especificada. La adición de la interfaz en el sistema implicó deprecitar el sistema
1104 de generación de imágenes, ya que ahora, la estructura deformada se vería en la
1105 interfaz. Por lo tanto, debía definirse un nuevo modelo de salida del motor para
1106 lograr ser interpretado por la interfaz.

1107 La solución que se implementó consta simplemente de agregar al archivo .txt
1108 recibido, dos matrices con los resultados obtenidos de los cálculos realizados:

- 1109 ■ Una matriz que contiene el desplazamiento de cada nodo en cada coorde-
1110 nada.
- 1111 ■ Una matriz que contiene los valores de deformación, fuerza y tensión de
1112 cada barra.

1113 Se decidió que en la salida del motor debía incluirse el mismo texto que se recibió,
1114 de modo de poder corroborar en la interfaz que se están intentando procesar
1115 los resultados de la misma estructura que se generó, evitando así problemas de
1116 consistencia y compatibilidad.

1117 4.7.2. Introducción de datos en la UI

1118 Luego de generar el texto con la especificación de la estructura, la interfaz queda
1119 en un estado de espera, mientras el usuario obtiene dicho archivo y lo ingresa
1120 en el motor. Una vez finalizado el proceso, el cliente carga el archivo resultante
1121 en la interfaz y comienza el procesamiento del mismo.

1122 El primer caso consta de separar las 2 matrices resultantes del resto del archi-
1123 vo. De esta manera, se compara el texto generado con el que se recibió, con el
1124 objetivo de verificar si se trata de la misma estructura. En caso afirmativo, se

1125 define un nuevo objeto:«Deformada», donde se replican todos los nodos exis-
1126 tentes en el modelo, aplicando a cada uno los desplazamientos obtenidos en la
1127 primer matriz. Es importante destacar que la conectividad de la estructura no
1128 se ve alterada, por lo tanto no es necesario recibir dicha información en el pro-
1129 cesamiento, simplemente se replican todas las barras especificadas en el modelo
1130 original, agregando a cada una la información de deformación, fuerza y tensión
1131 aplicada a cada una de ellas.

1132 Finalmente, una vez que se logra modelar la estructura deformada, se dibuja la
1133 misma en la escena, superpuesta con la estructura original, de modo de apreciar
1134 las diferencias entre una y otra.

1135 4.7.3. Visualización

1136 Finalmente se tiene la estructura deformada dibujada en la escena. A partir de
1137 este momento, se ofrecen al usuario ciertas opciones para comprender mejor el
1138 resultado que se está observando:

- 1139 ■ **Transparencia:** El usuario puede elegir transparentar levemente la es-
1140 tructura original o la deformada, de forma de resaltar una u otra de acuer-
1141 do a qué se esté analizando.
- 1142 ■ **Escalamiento:** Algunas estructuras sufren de deformaciones realmente
1143 pequeñas, poco apreciables a la vista. Por lo tanto, se incluye una fun-
1144 cionalidad para escalar interactivamente la deformada. Esto significa que
1145 puede multiplicarse los desplazamientos por un número positivo con el
1146 fin de observar hacia dónde se realiza el desplazamiento de la estructura.
1147 Para hacer esto posible, simplemente se multiplica el desplazamiento de
1148 cada nodo por coordenada por el factor de escalamiento ingresado por el
1149 usuario, manteniendo la conectividad de la misma.
- 1150 ■ **Colorizado:** Esta funcionalidad permite al usuario cambiar la colorización
1151 de la estructura dependiendo de los valores recibidos de las propiedades de
1152 las barras asignados en la deformada. Es decir, que el usuario puede elegir
1153 colorear cada barra de la estructura tomando en cuenta su deformación,
1154 fuerza o tensión. Se utilizan escalas de rojo para valores negativos y escalas
1155 de verde para valores positivos. Esto se logró recorriendo el modelo de la
1156 estructura deformada y cambiando el material que conforma cada barra
1157 por el color correspondiente a su valor.

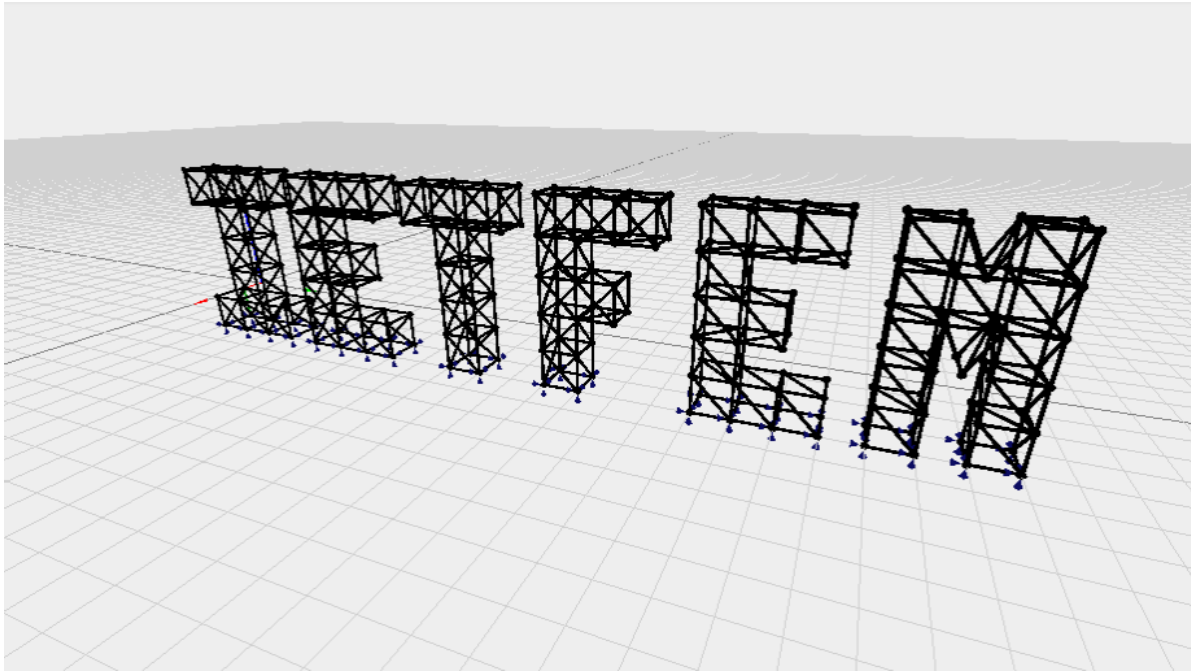


Figura 15: IETFEM: Versión final

1158 5. Resultados obtenidos

1159 5.1. Comparación IETFEM con y sin UI

1160 5.1.1. Análisis del impacto en la usabilidad

1161 El nacimiento de la propuesta del proyecto fue motivada casi en un 100 % en
 1162 mejorar la usabilidad de una herramienta que ya resolvía de forma altamente
 1163 satisfactoria los problemas para la que fue diseñada. En este sentido, se logro
 1164 solucionar varios problemas que atentaban contra la amigabilidad de la herra-
 1165 mienta tales como:

- 1166 ■ Generación automática de la entrada para el motor gráfico en GNU-
 1167 Octave, evitando trabajo manual por parte del usuario e archivo altamente
 1168 estructurado en el que se pueden introducir muchos errores. Además, di-
 1169 cho archivo crece rápidamente, haciéndolo muy difícil de manejar para
 1170 estructuras de un tamaño mediano.
- 1171 ■ Manipulación visual y en tiempo real de la estructura que se esta gene-
 1172 rando.
- 1173 ■ Experiencia de modelado similar a la utilizada por herramientas comer-

1174 ciales del rubro, lo cual aporta no solo a la usabilidad, sino que también
1175 prepara a los estudiantes para la utilización de las mismas en ambientes
1176 profesionales.

1177 ■ Reducción del tiempo de procesado de la salida en comparación al tiempo
1178 de generación de gráficos de IETFEM sin interfaz gráfica.

1179 ■ Guía y simplifica al usuario el flujo de trabajo para integrar su estructura
1180 dibujada con el motor y llevar a cabo la ejecución de los cálculos.

1181 La mejora en la usabilidad es percibida, no solo por la opinión del equipo de
1182 desarrollo y los docentes tutores, sino por la opinión de alumnos de años ante-
1183 riores que utilizaron la herramienta sin la interfaz gráfica e interactuaron con la
1184 misma en la muestra de ingeniería del presente año.

1185 **5.1.2. Análisis del impacto en el tiempo de ejecución**

1186 El segundo objetivo planteado en este proyecto trata sobre mejorar la eficiencia
1187 del sistema, lo que sin duda representó un desafío tomando en cuenta la potencia
1188 con la cual cuenta el motor de cálculo para resolver problemas estructurales.

1189 En consecuencia, se buscó reducir en particular el tiempo de ejecución, logrado
1190 una significativa mejora que se puede apreciar en los casos de prueba en la
1191 siguiente sección. Debido a la presencia de la interfaz, el motor cuenta con ciertas
1192 funcionalidades que ya no son requeridas. Para ilustrar este caso, se observa el
1193 funcionamiento del antiguo motor y las mejoras que se realizaron:

1194 Cuando uno ejecuta el IETFEM antiguo, se le plantean una serie de preguntas
1195 iniciales, las cuáles incluyen:

1196 ■ Idioma a manejar(Español e Inglés).

1197 ■ Tipo de problema (Reticulados, pórticos o arcos).

1198 ■ Dimensiones del problema de problema(1D, 2D o 3D).

1199 ■ Pequeñas o grandes deformaciones.

1200 ■ Nombre del archivo donde está especificada la estructura.

1201 Debido a que se decidió que la interfaz resuelva problemas de pequeñas deforma-
1202 ciones en reticulados, y que todos los problemas se ingresan en 3 dimensiones, se
1203 redujo este grupo de opciones solamente al idioma y el nombre del problema. Se
1204 decidió que el idioma esté seteado por defecto, debido a que la interacción direc-
1205 ta con el motor pasó a ser casi nula. Por lo tanto, cuando uno ejecuta el motor
1206 sólo debe especificar el archivo con la estructura, eliminando una significativa
1207 cantidad de tiempo muerto al comienzo de cada ejecución.

1208 Respecto al archivo con la estructura mencionado, se redujo el tiempo de confec-
1209 ción del mismo, ya que el dibujado se realiza de manera más ágil y sencilla que
1210 ingresando cada coordenada y propiedad manualmente. Poder ver la estructura

1211 en el proceso, disminuye los errores de conectividad y asignación de propiedades,
1212 apoyos, etc, los cuales significaban errores usuales. Además, también se evita al
1213 usuario de problemas de sintaxis al escribir el archivo, ya que la interfaz se
1214 aseguró de generar el archivo con el formato exacto que necesita el motor.

1215 Otro aspecto a destacar, es la eliminación de funciones de graficado del motor.
1216 Se observó que eliminando la generación de imágenes desde el mismo se obtiene
1217 una gran mejora en tiempos de ejecución. Se verá el impacto de esta medida en
1218 los casos estudiados en la siguiente sección.

1219 Por último, apreciamos la mejora del escalamiento de la deformada. En el an-
1220 tigo IETFEM, el escalamiento de la deformada era otro atributo que se espe-
1221 cificaba en el archivo de entrada, por lo tanto, si uno quería modificar dicho
1222 valor debía editar el archivo y ejecutar el IETFEM nuevamente, repitiendo el
1223 proceso hasta encontrar el valor deseado. En la nueva versión, con la interfaz
1224 incluida, este valor es modificado directamente en la interfaz, luego de ingre-
1225 sar el resultado del motor, evitando al usuario tener que ejecutar nuevamente el
1226 motor.

1227 5.2. Casos de prueba

1228 5.2.1. Estudio de casos de pequeño porte (Torre pequeña)

1229 El primer caso a probar consta de una estructura representando una pequeña
1230 torre. La misma se asemeja a las estructuras que se realizan en el curso de
1231 Elasticidad en el que se utilizará la herramienta. Cuenta con 10 nodos y 25
1232 barras.

1233 La ejecución del mismo se llevó a cabo en etapas tempranas de desarrollo e
1234 integración con el motor, ayudando en el proceso de descubrimiento de *bugs* y
1235 resolución de los mismos.

1236 Una vez finalizada la primer versión, se probaron todos los casos de uso espe-
1237 cificados, respondiendo a los mismos con resultados positivos y ejecutando con
1238 excelente fluidez. En la Figura 16 se puede ver la estructura y los resultados
1239 obtenidos. Se aprecia la estructura indeformada y la deformada en color púrpu-
1240 ra. También se puede ver la torre sometida a un factor de escala de 200, con el
1241 fin de apreciar mejor los desplazamientos de la misma. Por último, se coloreó
1242 la estructura de acuerdo a la deformación de cada barra, de manera que puede
1243 observarse en rojo las barras que se comprimen y en verde las que se traccionan.

1244 En cuanto a tiempos de ejecución, se observa una significativa mejora, conse-
1245 cuencia de eliminar el módulo de generación de imágenes del motor. Si se ejecuta
1246 la torre en cuestión en el antiguo IETFEM, los resultados son los siguientes:

- 1247 ■ **Lectura de datos:** 0.227 segundos
- 1248 ■ **Cálculo de parámetros internos:** 0.031 segundos

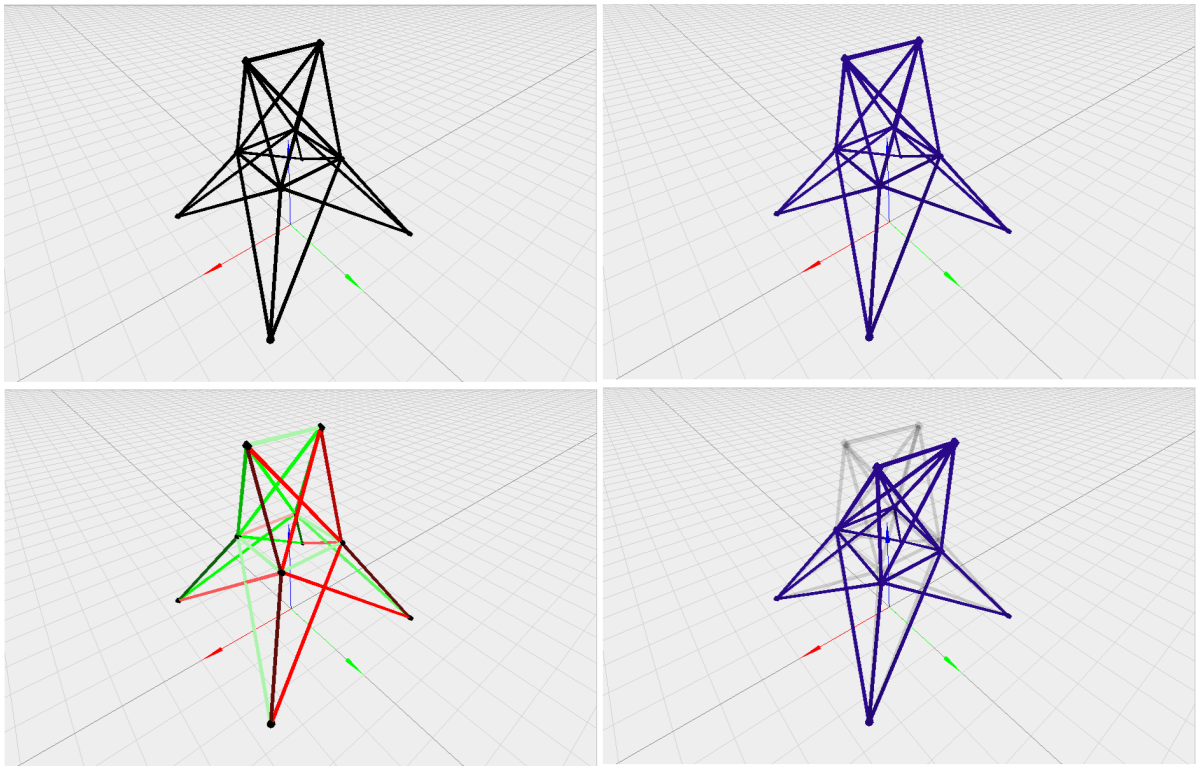


Figura 16: Caso de Estudio: Torre pequeña

1249 ■ **Resolución del problema:** 0.017 segundos
1250 ■ **Generación de imágenes:** 370.803 segundos
1251 ■ **Generación de TXTs:** 0.281 segundos
1252 ■ **Generación de TEXs:** 0.499 segundos
1253 ■ **TIEMPO TOTAL:** 371.849 segundos

1254 Se observa que el tiempo de generación de imágenes supera el 99 % del tiempo
1255 total de ejecución, mientras que la resolución del problema en sí se logra en
1256 menos de 1 segundo.

1257 En el nuevo IETFEM, la ejecución del mismo archivo muestra los siguientes
1258 números:

1259 ■ **Lectura de datos:** 1.222 segundos
1260 ■ **Cálculo de parámetros internos:** 0.024 segundos
1261 ■ **Resolución del problema:** 0.013 segundos
1262 ■ **TIEMPO TOTAL:** 1.259 segundos

1263 De esta manera, eliminando el proceso de generación de imágenes se ganan más
1264 de 5 minutos de eficiencia. Sin embargo, es necesario tomar en cuenta también
1265 el tiempo que tarda la interfaz en generar el archivo y el tiempo que tarda en
1266 procesar los resultados:

1267 ■ **Generación del archivo:** 0.102 segundos
1268 ■ **Carga de resultados:** 0.621 segundos
1269 ■ **TIEMPO TOTAL:** 0.723 segundos

1270 Se logra así un tiempo total de procesamiento 1.982 segundos entre la descar-
1271 ga/carga de archivos y procesamiento del motor.

1272 5.2.2. Estudio de casos de mediano porte (Grúa)

1273 El siguiente paso en la prueba del sistema fue utilizar un modelo de estructura
1274 más grande. El modelo elegido fue una grúa, que puede observarse en la Figura
1275 17. Dicha estructura cuenta con 289 nodos y 1294 barras, lo que se considera
1276 un alto nivel de datos considerando el objetivo académico de la estructura. Esto
1277 quiere decir que en el curso donde se pondrá en producción el nuevo IETFEM,
1278 el estudiante nunca deberá dibujar una estructura de semejante tamaño. Por lo
1279 tanto, consideramos en un principio este caso como una prueba de stress.

1280 No se detectaron bugs de integración con el motor en la ejecución de este caso.
1281 El mismo fué ejecutado y perfeccionado poco antes de la muestra de Ingeniería
1282 de este año, con el fin de demostrar la potencia y versatilidad de la aplicación.

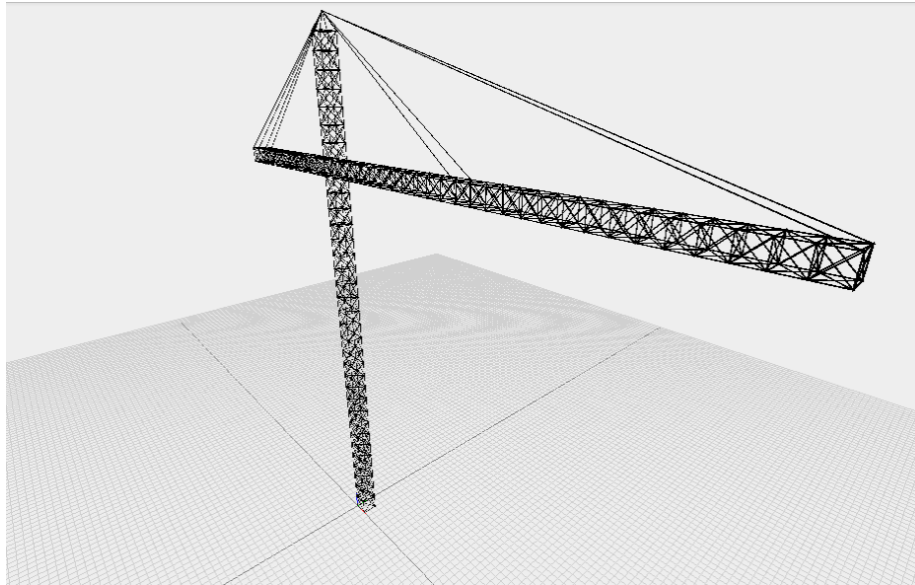


Figura 17: Caso de Estudio: Grúa

1283 Los casos de uso se ejecutaron sin problemas, notando un nivel alto de fluidez
1284 al moverse por el espacio.

1285 En las figuras 18 y 19 se ven los resultados de su ejecución. Se nota la deformación
1286 obtenida sin necesidad de realizar escalamiento alguno. La colorización de la
1287 estructura se logró de manera óptima y es coherente con la deformación de la
1288 misma.

1289 En cuanto a tiempos de ejecución, en el IETFEM antiguo se obtuvieron los
1290 siguientes números:

- 1291 ■ **Lectura de datos:** 5.196 segundos
- 1292 ■ **Cálculo de parámetros internos:** 0.766 segundos
- 1293 ■ **Resolución del problema:** 0.502 segundos
- 1294 ■ **Generación de imágenes:** 1598.457 segundos
- 1295 ■ **Generación de TXTs:** 1.543 segundos
- 1296 ■ **Generación de TEXs:** 7.555 segundos
- 1297 ■ **TIEMPO TOTAL:** 1613.851 segundos

1298 Mientras que en el nuevo IETFEM, los resultados fueron los siguientes:

- 1299 ■ **Lectura de datos:** 7.347 segundos
- 1300 ■ **Cálculo de parámetros internos:** 0.508 segundos

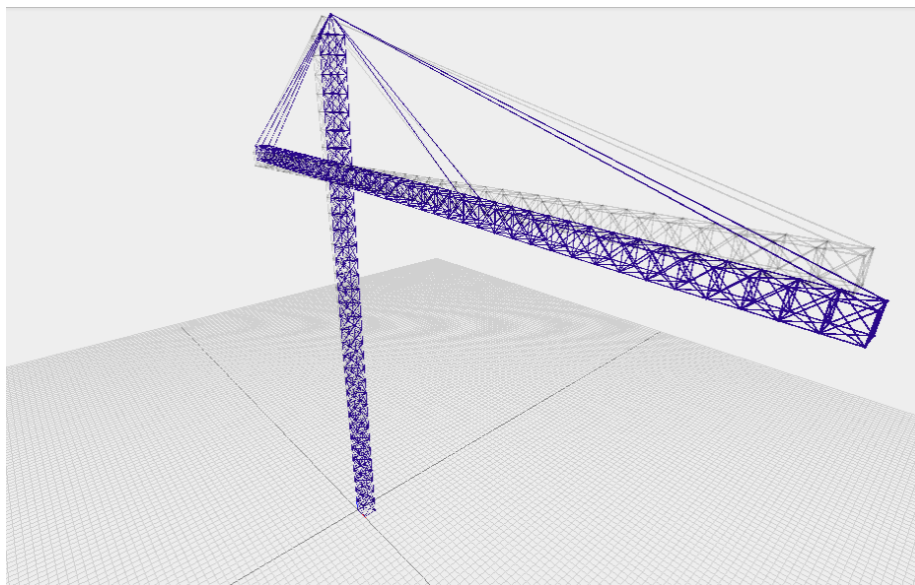


Figura 18: Deformación de la grúa

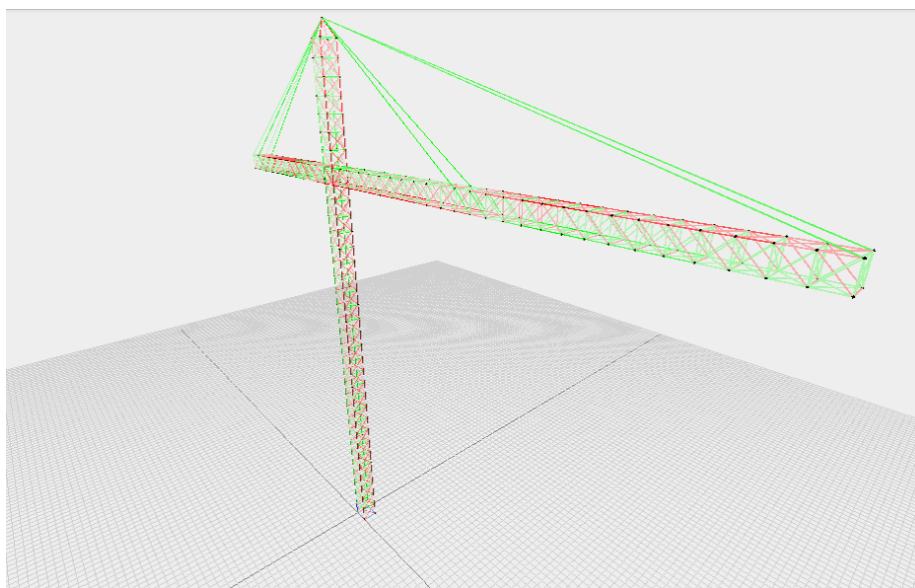


Figura 19: Coloración de la grúa

1301 ■ **Resolución del problema:** 0.339 segundos

1302 ■ **TIEMPO TOTAL:** 8.194 segundos

1303 Sumamos el tiempo de descarga/carga del archivo desde la interfaz como en el

1304 caso anterior:

1305 ■ **Generación del archivo:** 0.122 segundos

1306 ■ **Carga de resultados:** 1.334 segundos

1307 ■ **TIEMPO TOTAL:** 1.456 segundos

1308 Lo que hace que el tiempo total de procesamiento sea de 9.650 segundos, lo-

1309 grando una ejecución 167 veces más rápida que sin la interfaz

1310 5.2.3. Estudio de casos de gran porte y performance (Torre Eiffel)

1311 Luego de lograr un caso exitoso con la grúa, se estableció que la herramienta

1312 cumplía los requisitos necesarios para poder ser utilizado en el curso de Elastici-

1313 dad. Sin embargo, se decidió intentar un caso aún más masivo para observar su

1314 comportamiento. El modelo elegido fue la Torre Eiffel, la cual cuenta con 9746

1315 barras y 2077 nodos.

1316 Lo primero que se observó al cargar el modelo en la interfaz, fue una notoria

1317 baja calidad en el movimiento en la cámara. Debido a la masividad de objetos

1318 ingresados en la escena, el renderizado consumía demasiado tiempo y le quitaba

1319 fluidez a la aplicación.

1320 Motivados por la experiencia de renderizar una estructura enorme como la Torre

1321 Eiffel, se comenzó una investigación por parte del equipo de desarrollo de estra-

1322 tegias para atacar dicho problema y mejorar así el rendimiento de la aplicación.

1323 Si bien la mayoría de los fixes no serían realizados debido a que la aplicación ya

1324 soporta con creces los casos de uso para los que fue diseñada, dicha investiga-

1325 ción resulta útil como base para trabajos futuros y por la adquisición de valioso

1326 conocimiento académico.

1327 Derivado de la investigación se presentan algunas medidas que se podrían tomar:

- 1328 ■ Utilizar `threeex.renderstats`[30], un monitor que nos da información útil
- 1329 sobre la escena como *draw calls* o cantidad de geometrías lo cual nos puede
- 1330 ayudar a tomar medidas correctivas.
- 1331 ■ Ahorrar en la cantidad de geometrías y materiales reutilizando en la medi-
- 1332 da de lo posible. Existen experiencias en la web que dicen que la velocidad
- 1333 de renderizado se incrementa 4.5 veces para 2000 cubos iguales. (Esta es
- 1334 una medida implementada)
- 1335 ■ En el caso de utilizar la geometría esfera, utilizarla con parámetros que
- 1336 deriven en una figura con menor cantidad de caras. Según la investigación
- 1337 la mejora de performance es muy baja.

- 1338 ■ En lugar de añadir las geometrías de forma individual en la escena, utilizar
1339 la técnica de mergear o unir las mismas en un solo gran objeto. Esta
1340 técnica resulta en una mejora substancial en la cantidad de FPS (Frame
1341 per second) en la aplicación. De acuerdo a la investigación, se obtiene
1342 que se pueden renderizar 120000 cubos a 30FPS mientras que sin esta
1343 técnica solo 2000. Aunque la mejora es muy importante, esta forma de
1344 trabajo deriva en una complicación a nivel de código importante, debido a
1345 que resulta más difícil manipular los objetos individualmente en la escena
1346 como en los casos de selección o borrado de objetos.
- 1347 ■ Utilizar estructuras de datos más performantes como el octree para tareas
1348 como raycasting.
- 1349 ■ Utilizar *web workers*[29] con el fin de paralelizar operaciones de calculo
1350 que requieran gran procesamiento con el fin de no interferir con el thread
1351 de la UI.
- 1352 ■ Utilizar *custom shaders*[29] en caso de encontrar un caso factible.
- 1353 ■ Eliminar la funcionalidad que implica resaltar barras y nodos al hacer
1354 *hover* sobre ellas. Dicha funcionalidad implica un constante *raycasting*
1355 de manera de saber que objetos intersectan con la posición del mouse.
1356 Esta medida se implementó, logrando una mejora mínima, aunque luego
1357 se decidió descartar esta medida debido a que se considera que no vale
1358 la pena eliminar esta funcionalidad para mejorar en poca medida casos
1359 inalcanzables.

1360 Con respecto a la ejecución del caso en la interfaz, se debe tener en cuenta que
1361 además de mantener la escena, el navegador debe mantener por detrás el modelo
1362 de la estructura con todas sus características. Además, una vez que se procesan
1363 los resultados del motor, se agregan todos los datos de la deformada, lo que hace
1364 que el navegador falle en algunos casos por problemas de memoria.

1365 En una versión futura del sistema, este problema podría arreglarse, por ejemplo,
1366 manteniendo la estructura persistida en una base de datos, eliminando carga del
1367 navegador. Sin embargo, para la versión académica se conoce que el alcance es
1368 mucho menor y que nunca se utilizará una estructura de semejante porte. Por
1369 lo tanto, consideramos que el caso estudiado aportó al proyecto al mejorar la
1370 performance del mismo, pero se expone como un límite conocido el número de
1371 elementos de la estructura, sabiendo que para 1500 elementos(grúa), el sistema
1372 funciona perfectamente.

1373 5.3. Resolución de un ejercicio práctico

1374 En la presente sección se muestra cómo es posible utilizar el IETFEM con el fin
1375 de resolver un ejercicio práctico del año 2016 del curso de Elasticidad (pertene-
1376 ciente al examen de diciembre de 2013).

Ejercicio 2.8

Examen de Elasticidad - 16 de diciembre de 2013.

En el reticulado 3D de la figura todas las barras tienen módulo de Young E y área A . La barra DH tiene largo $2L$, las demás barras son de largo L . Estas últimas forman un ángulo de 45° con la vertical.

a) Utilizando el método de los desplazamientos y el principio de trabajo virtual obtener los desplazamientos de los puntos D y H .

b) ¿Cuáles son los desplazamientos del punto medio de la barra DH ?

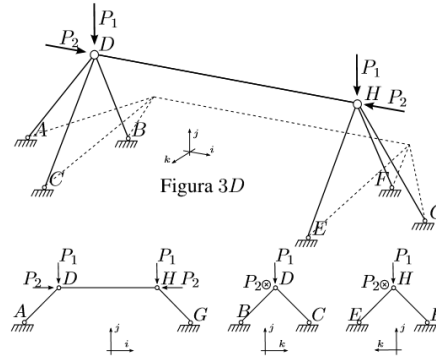


Figura 20: Letra de un ejercicio del curso de Elasticidad del 2016

En primer lugar el usuario debe modelar la estructura. Esto significa definir los nodos y las barras de la misma, tal como se muestra en la Figura 21.

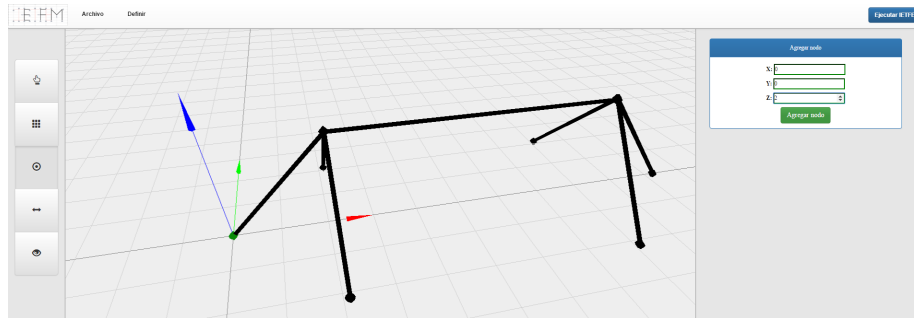


Figura 21: Definiendo la estructura

A continuación se definen las propiedades de las barras (materiales y secciones) y nodos (fuerzas, desplazamientos, resortes), tal como se ve en las Figuras 22 y 23.

Una vez definida la estructura, el usuario presiona el botón «Ejecutar IETFE» obteniendo la entrada para el motor de cálculo.

El estudiante carga el documento obtenido en el motor, obteniendo así, un nuevo archivo con los resultados de la ejecución. Al ingresar los datos obtenidos en la interfaz, es posible ver tanto la estructura indeformada como la deformada (Figura 24).

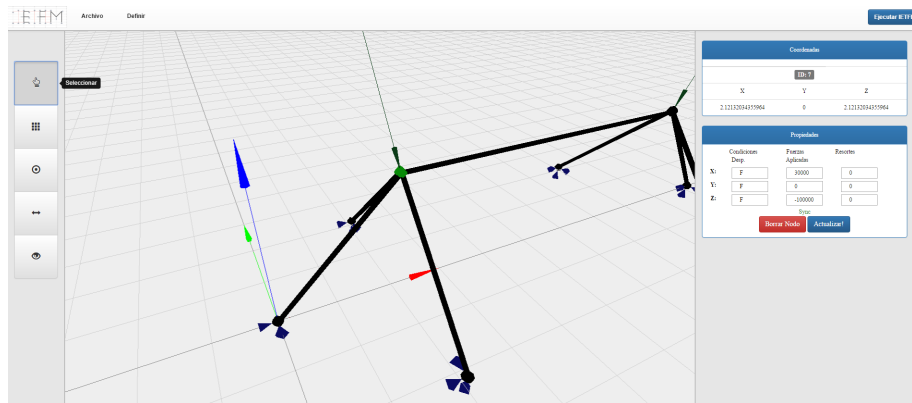


Figura 22: Asignando fuerzas y apoyos a los nodos.

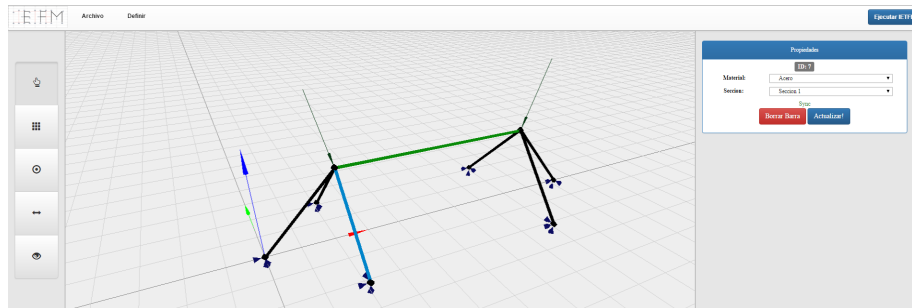


Figura 23: Asignando materiales y secciones a las barras.

1388 El sistema ofrece la opción de resaltar la estructura deformada, donde es posible
 1389 definir un factor de escala para que sean visibles los desplazamientos ocurridos
 1390 (Figura 25).

1391 También es posible visualizar los desplazamientos, fuerzas y tensiones aplicadas
 1392 sobre las barras de la estructura indeformada mediante una escala de colores
 1393 (Figura 26).

1394 Comparando esta visualización de resultados, con imágenes obtenidas de la eje-
 1395 cución de la versión anterior del IETFEM, se puede concluir que la interfaz
 1396 aumentó su valor de usabilidad en una gran medida (Figura 27).

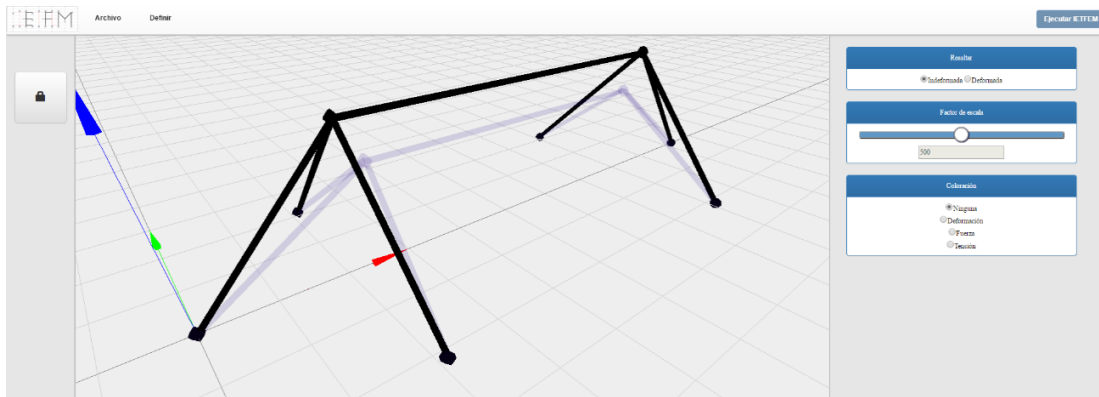


Figura 24: Vista de la estructura una vez ingresados los resultados del motor.

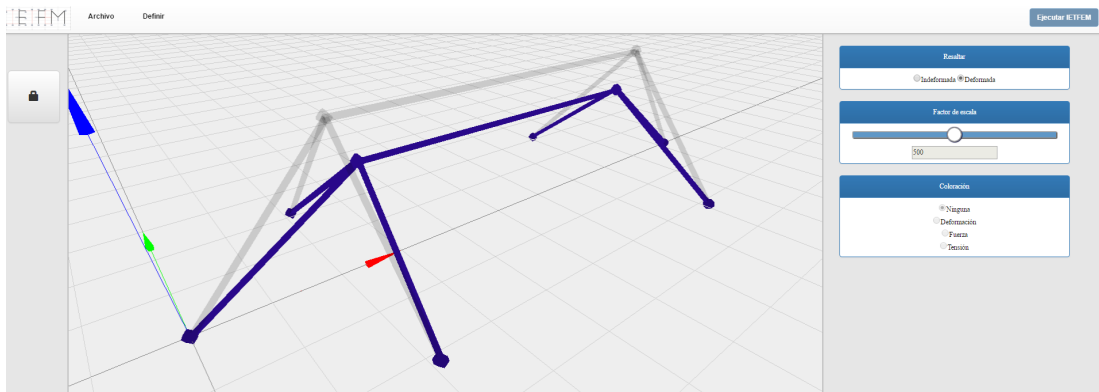


Figura 25: Deformada resaltada, con un factor de escala de 500.

Además de tener un entorno 3D visualmente atractivo con una gran facilidad para el diseño de la estructura, también es significativa la mejora en los tiempos de ejecución.

Con el antiguo IETFEM, se obtuvieron los siguientes tiempos:

- **Lectura de datos:** 0.114 segundos
- **Cálculo de parámetros internos:** 0.004 segundos
- **Resolución del problema:** 0.024 segundos
- **Generación de imágenes:** 4.676 segundos
- **Generación de TXTs:** 0.029 segundos
- **Generación de TEXs:** 0.084 segundos

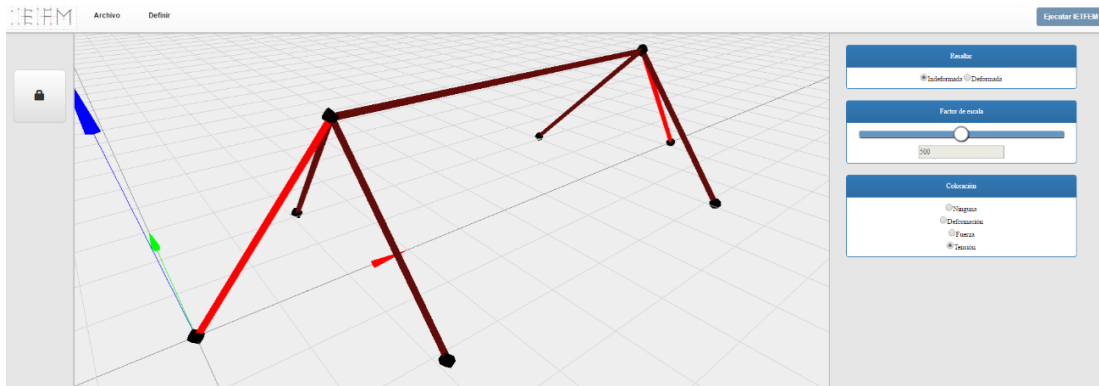


Figura 26: Escala de colores: muestra todas las barras en rojo, lo que significa que todas las barras se comprimen, lo cual es coherente con la estructura deformada.

1407 ■ **TIEMPO TOTAL: 4.931 segundos**

1408 Mientras que resolviendo el mismo problema con el motor nuevo utilizando la
1409 UI se obtiene:

1410 ■ **Lectura de datos: 0.079 segundos**

1411 ■ **Cálculo de parámetros internos: 0.004 segundos**

1412 ■ **Resolución del problema: 0.003 segundos**

1413 ■ **TIEMPO TOTAL: 0.086 segundos**

1414 Además, como en los casos anteriores, sumamos los tiempos de carga y descarga
1415 de los archivos:

1416 ■ **Generación del archivo: 0.089 segundos**

1417 ■ **Carga de resultados: 0.113 segundos**

1418 ■ **TIEMPO TOTAL: 0.202 segundos**

1419 Se logra un tiempo total de 0.288 segundos, lo que significa una mejora de más
1420 de 4 segundos.

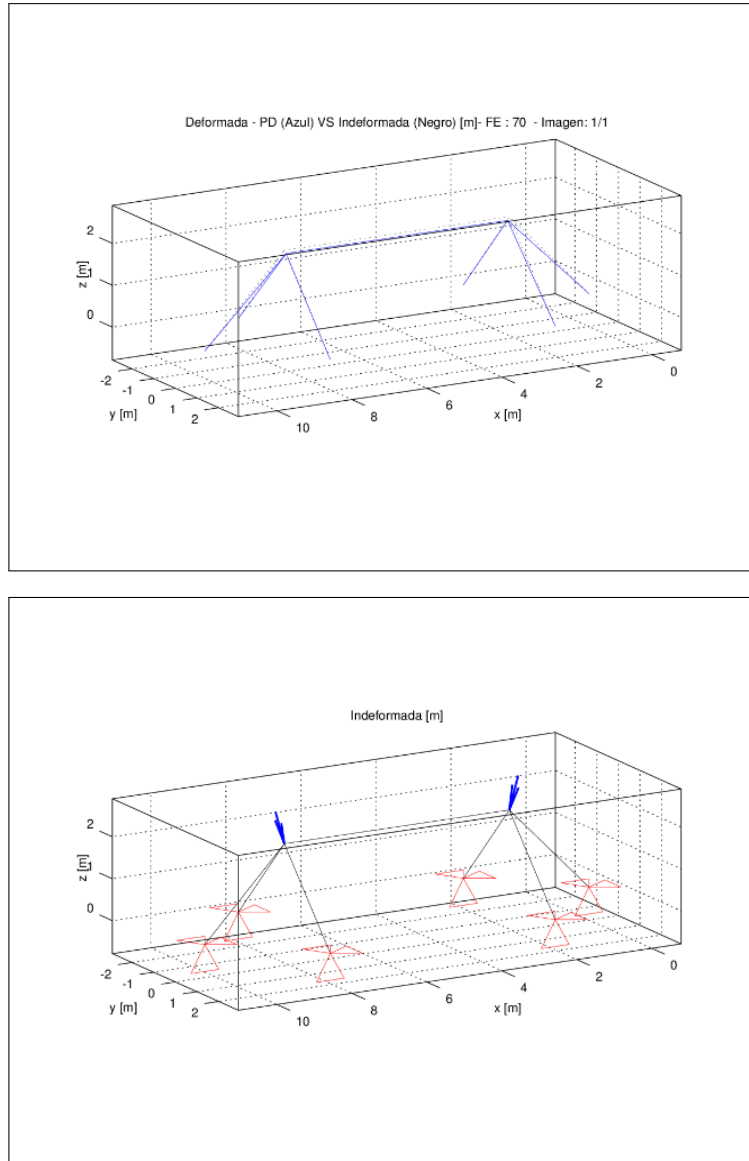


Figura 27: Imágenes obtenidas del ejercicio planteado desde el viejo IETFEM.

1421 6. Conclusiones y trabajo futuro

1422 6.1. Conclusiones

1423 Habiendo finalizado con la implementación de la interfaz «IETFEM UI» se
1424 puede afirmar que el proyecto concluyó de forma exitosa.

1425 Como primera conclusión, respondiendo a la pregunta realizada al comienzo del
1426 proyecto, se desprende que es posible realizar un sistema de cálculo de estruc-
1427 turas en la nube con un conjunto de funcionalidades acorde. Sin duda es una
1428 innovación dentro de este campo, debido a que los sistemas más populares del
1429 rubro ejecutan en un ambiente de escritorio. El equipo de desarrollo supone que
1430 estos sistemas no han migrado a una plataforma web simplemente por la can-
1431 tidad de trabajo necesario para recrear la inmensa cantidad de funcionalidades
1432 que componen estos programas.

1433 Las herramientas utilizadas se ajustaron a las necesidades. En particular, la
1434 herramienta ThreeJs resultó ser clave en el proyecto, demostrando que pueden
1435 realizarse aplicaciones 3D de una manera sencilla sobre un navegador Web. Se
1436 destaca, entre otras cosas, el amigable uso de la cámara, la cantidad de objetos
1437 y funciones previstas, y la documentación publicada, donde se ofrecen ejemplos
1438 productivos de cada aspecto de la librería.

1439 En cuanto a las planificaciones y estimaciones realizadas, se transcurrió con muy
1440 pocas diferencias con lo planificado, logrando realizar las entregas de iteraciones
1441 del producto en tiempo y forma con un buen grado de aceptación por parte de
1442 los tutores.

1443 La metodología de trabajo, como se esperaba, logró organizar la gran cantidad
1444 de tareas a realizar manteniendo un esquema de prioridades. Permitió además
1445 un alto nivel de transparencia con los tutores, dónde se podía observar las tareas
1446 pendientes y realizadas, además de agregar cosas a mejorar o posibles *bugs*.

1447 En lo concerniente al producto, se logró un resultado final que supera las ex-
1448 pectativas iniciales, tanto del equipo de desarrollo como de los tutores, logrando
1449 atacar las más importantes limitaciones de la herramienta que motivaron la
1450 realización del proyecto. Se implementaron todas las funcionalidades esenciales
1451 logrando una solución completa donde es importante mencionar el entorno 3D
1452 de calidad.

1453 Sin duda existe un gran abanico de funcionalidades y mejoras a realizar, pero
1454 aún así, la herramienta logró mejorar notablemente su interacción con el usuario,
1455 reduciendo drásticamente el tiempo de ejecución y la cantidad de errores de
1456 usuario. De esta manera IETFEM podría posicionarse como el primer sistema
1457 de cálculo de estructuras desarrollado en América Latina, y uno de los muy
1458 pocos en el mundo que ejecuta en un ambiente web.

1459 Finalmente, cabe destacar que se considera que la herramienta alcanzó niveles de

1460 performance altamente satisfactorios, logrando soportar la carga de estructuras
1461 de más de 1500 elementos. De esta manera, el equipo se asegura el correcto
1462 funcionamiento de IETFEM para los estudiantes que lo utilizarán en el correr
1463 del año 2016.

1464 **6.2. Trabajo a futuro**

1465 **6.2.1. Trabajo en la interfaz**

1466 Si bien la interfaz cumple con los requisitos y el alcance pretendido para el
1467 proyecto, existen ciertos puntos para agregar y mejorar.

1468 En primer lugar y quizás como el punto más directo, se encuentra extender
1469 las capacidades de la interfaz de usuario para dar soporte a la resolución de
1470 el resto de los problemas que actualmente ya es capaz de resolver el motor de
1471 calculo IETFEM. Entre estos problemas se encuentran, por ejemplo: estructuras
1472 de vigas, pórticos planos, etc.

1473 Además se pueden agregar varias funcionalidades accesorias como cámara or-
1474 togonal o selección múltiple, enriqueciendo la experiencia con la herramienta e
1475 incluso asemejándola a la de programas comerciales con años de desarrollo. Con
1476 el fin de mejorar la experiencia es posible dedicar esfuerzo también a detalles
1477 estéticos de la interfaz para hacerla aún más atractiva.

1478 Un detalle técnico que podría ser importante atacar en el futuro son cuestiones
1479 de performance. Esto es principalmente, mejoramiento de estructuras de da-
1480 tos y algoritmos, mejor administración de la memoria utilizada y técnicas más
1481 avanzadas en cuanto al desarrollo gráfico. Todas los puntos anteriores permiti-
1482 rían la capacidad de manipular y procesar estructuras muy grandes, mejorando
1483 también la fluidez de los gráficos en estas situaciones.

1484 **6.2.2. Despliegue de la aplicación**

1485 Si bien la solución presentada fue realizada con tecnologías web, la misma se
1486 ejecuta en un entorno local (sin servidor que la despliegue) y con la intervención
1487 del usuario para correr los cálculos en el motor en GNU-Octave. Sin embargo
1488 esta decisión responde a un requerimiento de los tutores con el argumento de
1489 evitar el mantenimiento de servidores. Dicho esto, el diseño completo incluye
1490 elementos del lado del servidor que se pasarán a detallar brevemente quedando
1491 como trabajo futuro.

1492 La solución original plantea un servidor web para el despliegue de la aplicación
1493 (interfaz de usuario) y un servidor de aplicaciones con la funcionalidad de ejecu-
1494 tar el código del motor de cálculo con los parámetros recibidos desde la interfaz
1495 de usuario y devolver los resultados para que la interfaz los despliegue. Todas

1496 las comunicaciones entre servidores e interfaz se realizarían mediante servicios
1497 REST.

1498 De implementarse estos cambios se tendrían varias ventajas para la herramienta
1499 y los usuarios de la misma:

- 1500 ■ Posibilidad de acceder a la herramienta desde cualquier pc o dispositivo
1501 con acceso a Internet.
- 1502 ■ Evitar el paso manual de instalar y ejecutar GNU-Octave desde línea de
1503 comando siendo esto totalmente transparente para el usuario.
- 1504 ■ Capacidad de implementación de funcionalidades apoyándose en las posi-
1505 bilidades que ofrece la infraestructura como autenticación o un espacio de
1506 trabajo alojado en el servidor que permita guardar proyectos y resultados
1507 en la web.

1508 Referencias

- 1509 [1] *GNU-Octave*: <https://www.gnu.org/software/octave/>
- 1510 [2] *IETFEM*: J.M. Pérez Zerpa, P. Castrillo, X. Otegui, A. Canelas, IETFEM:
1511 Una herramienta de código abierto aplicada a la enseñanza del Método
1512 de Elementos Finitos en Ingeniería, Revista Argentina de Enseñanza de la
1513 Ingeniería, 4 (8) ,Abril 2015.
- 1514 [3] *SAP 2000*: <https://www.csiamerica.com/products/sap2000>
- 1515 [4] *AxisVM*: <http://axisvm.eu/index.html>
- 1516 [5] *MatLab*: <http://www.mathworks.com/products/matlab>
- 1517 [6] *Método de los elementos finitos*: The Finite Element Method: Linear Static
1518 and Dynamic Finite Element Analysis. Thomas J. R. Hughes
- 1519 [7] *Computers & Structures, Inc.*: <https://www.csiamerica.com>
- 1520 [8] *Alcance mundial de SAP2000*: <https://www.csiamerica.com/about>
- 1521 [9] *Idea StatiCa*: <https://www.ideastatica.com>
- 1522 [10] *CloudCalc*: <http://www.cloudcalc.com>
- 1523 [11] *SkyCiv*: <https://skyciv.com>
- 1524 [12] *OpenGL*: https://www.opengl.org/documentation/current_version
- 1525 [13] *Lightweight Java Game Library 3*: <https://www.lwjgl.org>
- 1526 [14] *Java OpenGL*: <https://www.opengl.org/about/>
- 1527 [15] *JMonkey Engine*: <http://jmonkeyengine.org/tour/introduction>

- 1528 [16] *HTML Canvas 2D*: <http://www.w3.org/TR/2dcontext>
- 1529 [17] *WebGL*: <https://www.khronos.org/webgl/>
- 1530 [18] *Experience Curiosity*: <http://eyes.nasa.gov/curiosity>
- 1531 [19] *ThreeJS*: <http://threejs.org>
- 1532 [20] *BabylonJS*: <http://www.babylonjs.com>
- 1533 [21] *Metodología Kanban*: <http://kanbantool.com/es/metodologia-kanban>
- 1534 [22] *Jira*: <https://es.atlassian.com/software/jira>
- 1535 [23] *TFS*: <https://www.visualstudio.com/en-us/products/tfs-overview-vs.aspx>
- 1536 [24] *HTML5*: <https://www.w3.org/TR/html5/introduction.html#introduction>
- 1537 [25] *JavaScript*: <https://www.javascript.com/>
- 1538 [26] *CSS3*: <https://www.w3.org/Style/CSS/>
- 1539 [27] *Bootstrap*: <http://getbootstrap.com>
- 1540 [28] *AngularJS*: <https://angularjs.org>
- 1541 [29] *Optimizing ThreeJS Blog*: [http://www.ianww.com/blog/2012/11/04/optimizing-](http://www.ianww.com/blog/2012/11/04/optimizing-three-dot-js-performance-simulating-tens-of-thousands-of-independent-moving-objects)
1542 [three-dot-js-performance-simulating-tens-of-thousands-of-independent-](http://www.ianww.com/blog/2012/11/04/optimizing-three-dot-js-performance-simulating-tens-of-thousands-of-independent-moving-objects)
1543 [moving-objects](http://www.ianww.com/blog/2012/11/04/optimizing-three-dot-js-performance-simulating-tens-of-thousands-of-independent-moving-objects)
- 1544 [30] *Performance Monitor*: [http://learningthreejs.com/blog/2013/06/25/monitor-](http://learningthreejs.com/blog/2013/06/25/monitor-rendering-performance-within-threejs)
1545 [rendering-performance-within-threejs](http://learningthreejs.com/blog/2013/06/25/monitor-rendering-performance-within-threejs)

1546 7. Anexos

1547 A. Especificación de Casos de Uso

- 1548 ■ **Nombre:** Alta de Material
- 1549 ■ **Descripción:** El usuario agrega un nuevo material en el sistema
- 1550 ■ **Precondiciones:** Ninguna
- 1551 ■ **Postcondiciones:** Existe un nuevo material definido en el sistema
- 1552 ■ **Flujo Normal:**
 - 1553 1. El usuario indica que quiere agregar un nuevo material
 - 1554 2. El usuario ingresa las propiedades del nuevo material
 - 1555 3. El sistema indica que se ha agregado un nuevo material
- 1556 ■ **Flujo Alternativo:**

1557 • El usuario ingresa un valor inválido para alguna de las propiedades
1558 del material

1559 1. El sistema indica un mensaje de error correspondiente

1560 ■ **Nombre:** Baja de Material

1561 ■ **Descripción:** El usuario elimina un material existente en el sistema

1562 ■ **Precondiciones:** Existe al menos un material definido en el sistema

1563 ■ **Postcondiciones:** El material seleccionado por el usuario se elimina del
1564 sistema

1565 ■ **Flujo Normal:**

1566 1. El usuario selecciona un material e indica que quiere eliminarlo

1567 2. El sistema indica que se ha eliminado el material

1568 ■ **Nombre:** Modificación de Material

1569 ■ **Descripción:** El usuario modifica un material existente en el sistema

1570 ■ **Precondiciones:** Existe al menos un material definido en el sistema

1571 ■ **Postcondiciones:** El material seleccionado por el usuario existe en el
1572 sistema con sus propiedades modificadas

1573 ■ **Flujo Normal:**

1574 1. El usuario indica que quiere modificar un material

1575 2. El usuario ingresa las nuevas propiedades del material

1576 3. El sistema indica que se ha modificado el nuevo material

1577 ■ **Flujo Alternativo:**

1578 • El usuario ingresa un valor inválido para alguna de las propiedades
1579 del material

1580 1. El sistema indica un mensaje de error correspondiente

1581 ■ **Nombre:** Alta de Sección

1582 ■ **Descripción:** El usuario agrega una nueva sección en el sistema

1583 ■ **Precondiciones:** Ninguna

1584 ■ **Postcondiciones:** Existe un nueva sección definido en el sistema

1585 ■ **Flujo Normal:**

1586 1. El usuario indica que quiere agregar una nueva sección

1587 2. El usuario ingresa el área de la nueva sección

1588 3. El sistema indica que se ha agregado una nueva sección

1589 ■ **Flujo Alternativo:**

1590 • El usuario ingresa un valor inválido para el área de la nueva sección

1591 1. El sistema indica un mensaje de error correspondiente

1592 ■ **Nombre:** Baja de Sección

1593 ■ **Descripción:** El usuario elimina una sección existente en el sistema

1594 ■ **Precondiciones:** Existe al menos una sección definida en el sistema

1595 ■ **Postcondiciones:** La sección seleccionada por el usuario se elimina del

1596 sistema

1597 ■ **Flujo Normal:**

1598 1. El usuario selecciona una sección e indica que quiere eliminarla

1599 2. El sistema indica que se ha eliminado la sección

1600 ■ **Nombre:** Modificación de Sección

1601 ■ **Descripción:** El usuario modifica una sección existente en el sistema

1602 ■ **Precondiciones:** Existe al menos una sección definido en el sistema

1603 ■ **Postcondiciones:** La sección seleccionada por el usuario existe en el sis-

1604 tema con su área modificada

1605 ■ **Flujo Normal:**

1606 1. El usuario indica que quiere modificar una sección

1607 2. El usuario ingresa la nueva área para la sección seleccionada

1608 3. El sistema indica que se ha modificado la sección

1609 ■ **Flujo Alternativo:**

1610 • El usuario ingresa un valor inválido para el área de la sección

1611 1. El sistema indica un mensaje de error correspondiente

1612 ■ **Nombre:** Alta de Nodo

1613 ■ **Descripción:** El usuario agrega un nuevo nodo en el sistema

1614 ■ **Precondiciones:** No existe en el sistema un nodo con las mismas coor-
1615 denadas

1616 ■ **Postcondiciones:** Existe un nuevo nodo en el sistema

1617 ■ **Flujo Normal:**

1618 1. El usuario indica que quiere agregar una nueva nodo

1619 2. El usuario ingresa el área de la nueva sección

1620 3. El sistema indica que se ha agregado una nueva sección

1621 ■ **Flujo Alternativo:**

1622 • El usuario ingresa un valor inválido para el área de la nueva sección

1623 1. El sistema indica un mensaje de error correspondiente

1624 ■ **Nombre:** Baja de Nodo

1625 ■ **Descripción:** El usuario elimina un nodo del sistema.

1626 ■ **Precondiciones:** Existe al menos un nodo definido en el sistema

1627 ■ **Postcondiciones:** El nodo seleccionado por el usuario se elimina del sis-
1628 tema

1629 ■ **Flujo Normal:**

1630 1. El usuario selecciona un nodo e indica que quiere eliminarlo

1631 2. El sistema indica que se ha eliminado el nodo

1632 ■ **Nombre:** Modificación de Nodo

1633 ■ **Descripción:** El usuario modifica las propiedades de un nodo existente
1634 en el sistema

1635 ■ **Precondiciones:** Existe al menos un nodo definido en el sistema

1636 ■ **Postcondiciones:** El nodo seleccionado por el usuario existe en el sistema
1637 con sus propiedades modificadas

1638 ■ **Flujo Normal:**

1639 1. El usuario selecciona un nodo

1640 2. El usuario cambia las propiedades del nodo por las nuevas

1641 3. El sistema indica que se ha modificado el nodo

1642 ■ **Flujo Alternativo:**

1643 • El usuario ingresa un valor inválido para alguna de las propiedades

1644 1. El sistema indica un mensaje de error correspondiente

1645 ■ **Nombre:** Crear grilla

1646 ■ **Descripción:** El usuario define una grilla auxiliar para el diseño de la

1647 estructura y se crea en el sistema

1648 ■ **Precondiciones:**

1649 ■ **Postcondiciones:** La grilla definida existe en el sistema

1650 ■ **Flujo Normal:**

1651 1. El usuario define las coordenadas de inicio de la grilla

1652 2. El usuario define la cantidad de líneas y distancia de separación de

1653 las mismas

1654 3. El usuario confirma la creación de la grilla

1655 4. El sistema indica que se ha creado la grilla con éxito y la misma

1656 aparece en la interfaz 3D

1657 ■ **Flujo Alternativo:**

1658 • El usuario ingresa un valor inválido para alguna de las propiedades

1659 1. El sistema indica un mensaje de error correspondiente

1660 ■ **Nombre:** Modificar Visualización de Propiedades

1661 ■ **Descripción:** Permite al usuario visualizar de forma gráfica en el modelo

1662 3D apoyos, resortes y fuerzas.

1663 ■ **Precondiciones:**

1664 ■ **Postcondiciones:** Dada las opciones de visualización activadas se rende-

1665 rizan en el espacio 3D los gráficos correspondientes.

1666 ■ **Flujo Normal:**

1667 1. El usuario activa/desactiva una opción de visualización

1668 2. El sistema muestra/esconde los gráficos correspondientes en la inter-

1669 faz

1670 ■ **Flujo Alternativo:**

1671 ■ **Nombre:** Nueva Estructura

1672 ■ **Descripción:** El usuario limpia el modelo y el espacio 3D para comenzar
1673 a trabajar con una estructura nueva

1674 ■ **Precondiciones:**

1675 ■ **Postcondiciones:** El sistema que en el estado inicial

1676 ■ **Flujo Normal:**

1677 1. El usuario elige la opción "Nueva Estructura" confirma la elección

1678 2. La interfaz se limpia volviendo al estado inicial

1679 ■ **Flujo Alternativo:**

1680 ■ **Nombre:** Guardar Estructura

1681 ■ **Descripción:** Permite al usuario guardar el trabajo actual para continuar
1682 con el mismo en otro momento

1683 ■ **Precondiciones:**

1684 ■ **Postcondiciones:** Se descarga un archivo con la información necesaria
1685 para poder reconstruir el estado actual del sistema

1686 ■ **Flujo Normal:**

1687 1. El usuario elige la opción "Guardar Estructura"

1688 2. Elige el nombre del archivo a descargar

1689 3. El archivo se descarga en el dispositivo del usuario

1690 ■ **Flujo Alternativo:**

1691 ■ **Nombre:** Abrir Estructura

1692 ■ **Descripción:** Permite cargar un archivo generado con el procedimiento
1693 "Guardar Estructura"dejando al sistema en el estado que este describe.

1694 ■ **Precondiciones:** Existe un archivo creado con el procedimiento "Guardar
1695 Estructura"

1696 ■ **Postcondiciones:** El sistema queda en el estado descrito por el archivo
1697 seleccionado

1698 ■ **Flujo Normal:**

1699 1. El usuario elige un archivo del file system

1700 2. El usuario confirma el cargado

1701 3. Se aprecia en la interfaz los datos y estructuras cargadas desde el

1702 archivo elegido

1703 ■ **Flujo Alternativo:**

1704 ■ **Nombre:** Generar Especificación

1705 ■ **Descripción:** Se genera un archivo reconocible por el motor de cálculo

1706 con la especificación de la estructura

1707 ■ **Precondiciones:**

1708 ■ **Postcondiciones:** Se descarga un archivo con la especificación de la es-

1709 tructura para utilizar como entrada al motor de calculo

1710 ■ **Flujo Normal:**

1711 1. El usuario elige la opción "Ejecutar IETFEM"

1712 2. El usuario confirma la descarga del archivo

1713 3. Se descarga el archivo correspondiente

1714 ■ **Flujo Alternativo:**

1715 ■ **Nombre:** Procesar Resultados

1716 ■ **Descripción:** Se trata de procesar el archivo resultante del motor de

1717 calculo, y habilitando una nueva vista para ver la estructura deformada

1718 ■ **Precondiciones:** Existe un archivo generado por el motor de calculo IET-

1719 FEM

1720 ■ **Postcondiciones:** Se procesa el archivo y se genera la vista de exploración

1721 de la estructura deformada en la interfaz del sistema

1722 ■ **Flujo Normal:**

1723 1. El usuario elige la opción "Procesar resultados"

1724 2. El usuario selecciona el archivo del file system

1725 3. Se genera la vista de exploración de la deformada en la interfaz

1726 ■ **Flujo Alternativo:**

1727	1. El usuario elige la opción "Procesar resultados"
1728	2. El usuario elige un archivo invalido
1729	3. El sistema despliega un mensaje de error correspondiente
1730	■ Nombre: Escalar Deformada
1731	■ Descripción: En la vista de exploración de la deformada permite exagerar
1732	la deformación en factores lineales para hacerla más apreciable
1733	■ Precondiciones: Se procesaron los resultados de una estructura generán-
1734	dose en la interfaz la vista de exploración de la estructura deformada
1735	■ Postcondiciones: Se aprecia la estructura deformada con con el factor
1736	de escala dado por el parámetro seleccionado
1737	■ Flujo Normal:
1738	1. El usuario elige el valor del factor de escala
1739	2. Se despliega en la interfaz la estructura deformada con el factor de
1740	escala elegido
1741	■ Flujo Alternativo:
1742	1. El usuario elige un valor de factor de escala invalido
1743	2. El sistema despliega un mensaje de error correspondiente
1744	■ Nombre: Colorear Estructura
1745	■ Descripción: En la vista de exploración de la deformada permite apreciar
1746	en la estructura original las barras coloreadas de acuerdo a tensiones,
1747	fuerzas y deformaciones
1748	■ Precondiciones: Se procesaron los resultados de una estructura generán-
1749	dose en la interfaz la vista de exploración de la estructura deformada
1750	■ Postcondiciones: Se aprecia la estructura con las escalas de colores co-
1751	rrespondientes de acuerdo a los resultados entregados por el motor de
1752	cálculos
1753	■ Flujo Normal:
1754	1. El usuario activa/desactiva una opción de coloración
1755	2. Se aprecia en la interfaz la estructura coloreada de acuerdo a los datos
1756	del problema
1757	■ Flujo Alternativo:

1758 **B. Entrada del motor: Torre pequeña**

1759 El siguiente documento constituye el archivo generado por la interfaz para ser
1760 ejecutado desde el motor de cálculo. Dicho archivo, en anteriores versiones de
1761 IETFEM (sin interfaz), debía escribirse a mano por el usuario. En él se pueden
1762 observar todos los aspectos de la estructura dibujada.

1763 **Primero se escriben parámetros seteados por defecto desde la interfaz.**

1764 Force Magnitude
1765 kN

1766 Length Magnitude
1767 m

1768 Number of degrees of freedom per node
1769 3

1770 Number of nodes per element
1771 2

1772 **Se definen los materiales, con todas sus propiedades.**

1773 Number of materials
1774 1

1775 Materials:
1776 Young Modulus gamma alpha (1/C) nu
1777 68947572900 27679.904703 0 0.3

1778 **Aquí se setean diferentes temperaturas. Para los casos ingresados**
1779 **desde la interfaz, esta información es innecesaria.**

1780 Number of temperature cases
1781 0

1782 Temperature cases:
1783 Value

1784 **Se definen las secciones.**

1785 Number of sections
1786 1

1787 Sections:
1788 Area
1789 0.00193548
1790

1791 **Aquí se definen los nodos, y la posición espacial de cada una de ellos.**

1792 Number of nodes
1793 10

```

1794 Node matrix
1795 Xs Ys Zs
1796 -0.9525 0 5.08
1797 0.9525 0 5.08
1798 -0.9525 0.9525 2.54
1799 0.9525 0.9525 2.54
1800 0.9525 -0.9525 2.54
1801 -0.9525 -0.9525 2.54
1802 -2.54 2.54 0
1803 2.54 2.54 0
1804 2.54 -2.54 0
1805 -2.54 -2.54 0
1806
1807 Posteriormente se definen las barras, indicando material, sección y
1808 los nodos de inicio y fin.
1809 Number of elements
1810 25
1811 Conectivity matrix
1812 material section tempcase start end
1813 1 1 0 1 2
1814 1 1 0 1 4
1815 1 1 0 2 3
1816 1 1 0 1 5
1817 1 1 0 2 6
1818 1 1 0 2 4
1819 1 1 0 2 5
1820 1 1 0 1 3
1821 1 1 0 1 6
1822 1 1 0 3 6
1823 1 1 0 4 5
1824 1 1 0 3 4
1825 1 1 0 5 6
1826 1 1 0 3 10
1827 1 1 0 6 7
1828 1 1 0 9 4
1829 1 1 0 5 8
1830 1 1 0 7 4
1831 1 1 0 3 8
1832 1 1 0 10 5
1833 1 1 0 9 6
1834 1 1 0 10 6
1835 1 1 0 7 3
1836 1 1 0 8 4
1837 1 1 0 9 5

```

1838

1839 **Aquí se especifican los nodos que presentan condiciones de desplaza-**
1840 **miento, así como su valor para cada coordenada.**

1841 Number of displacement conditions nodes

1842 4

1843 Displacement conditions nodes matrix

1844 Displacement node X condition Y condition Z condition

1845 7 0 0 0

1846 8 0 0 0

1847 9 0 0 0

1848 10 0 0 0

1849

1850 **Luego se especifican los nodos que presentan fuerzas aplicadas, así**
1851 **como su valor para cada coordenada.**

1852 Number of puntual load conditions

1853 4

1854 Puntual loads conditions nodes matrix

1855 Load node FX FY FZ

1856 1 4535.9237 45359.237 -22679.6185

1857 2 0 45359.237 -22679.6185

1858 3 2267.96185 0 0

1859 6 2267.96185 0 0

1860

1861 **Análogamente, aquí se definen otro tipo de fuerzas que no son apli-**
1862 **cables a los casos ingresados desde la interfaz.**

1863 Number of dead volume load conditions

1864 0

1865 Dead volume loads conditions matrix

1866 Element bx by bz

1867 **Finalmente, y de igual manera, en esta sección se especifican los nodos**
1868 **que presentan resortes. En este caso, la torre definida no presenta**
1869 **ninguno.**

1870 Number of springs conditions nodes

1871 0

1872 Springs conditions nodes matrix

1873 Spring node X condition Y condition Z condition

1874 C. Salida del motor: Torre pequeña

1875 Una vez que se ejecuta el motor de cálculo, el mismo expone un documento con
1876 información necesaria para el dibujado de la estructura deformada en la interfaz.
1877 Se decidió que el documento contenga además toda la información ingresada en
1878 el documento inicial, con el fin de controlar que se está procesando la misma
1879 estructura que se dibujó, evitando así problemas de consistencia.

1880 El motor agrega 2 matrices:

1881 **La primera matriz contiene el desplazamiento de cada nodo por coor-**
1882 **denada. Sólo con esta información ya es posible dibujar la estructura**
1883 **deformada, ya que se mantiene la conectividad y los nodos siempre**
1884 **se unen por líneas rectas.**

1885 Desplazamientos de los nodos

1886	u_x	u_y	u_z
1887	3.47e-004	6.71e-003	-3.86e-004
1888	3.96e-004	6.71e-003	-5.87e-004
1889	1.78e-005	4.48e-004	-1.67e-003
1890	1.11e-004	4.61e-004	-1.80e-003
1891	1.35e-005	4.22e-004	1.07e-003
1892	1.15e-004	4.35e-004	1.19e-003
1893	0.00e+000	0.00e+000	0.00e+000
1894	0.00e+000	0.00e+000	0.00e+000
1895	0.00e+000	0.00e+000	0.00e+000
1896	0.00e+000	0.00e+000	0.00e+000
1897			

1898 **La segunda matriz contiene los valores de Deformación, Fuerza y Ten-**
1899 **sión para cada barra. Esta información se utiliza en la interfaz para**
1900 **colorear la estructura y apreciar, por ejemplo, cuáles barras se com-**
1901 **primen y cuáles se estiran.**

1902 Parametros en barras

1903	Deformación	Fuerza	Tension
1904	2.60e-005	3.47e+003	1.79e+006
1905	-2.56e-004	-3.42e+004	-1.77e+007
1906	-2.27e-004	-3.02e+004	-1.56e+007
1907	1.52e-004	2.03e+004	1.05e+007
1908	1.81e-004	2.42e+004	1.25e+007
1909	-3.91e-004	-5.22e+004	-2.70e+007
1910	2.43e-004	3.25e+004	1.68e+007
1911	-3.67e-004	-4.89e+004	-2.53e+007
1912	2.68e-004	3.57e+004	1.84e+007
1913	6.40e-006	8.54e+002	4.41e+005
1914	2.01e-005	2.68e+003	1.39e+006
1915	4.90e-005	6.54e+003	3.38e+006

1916	-5.35e-005	-7.14e+003	-3.69e+006
1917	-1.25e-004	-1.67e+004	-8.65e+006
1918	7.98e-005	1.07e+004	5.51e+006
1919	-1.48e-004	-1.98e+004	-1.02e+007
1920	5.72e-005	7.63e+003	3.94e+006
1921	-2.32e-004	-3.10e+004	-1.60e+007
1922	-2.37e-004	-3.16e+004	-1.63e+007
1923	1.62e-004	2.16e+004	1.12e+007
1924	1.57e-004	2.09e+004	1.08e+007
1925	3.40e-004	4.53e+004	2.34e+007
1926	-4.29e-004	-5.72e+004	-2.96e+007
1927	-4.76e-004	-6.36e+004	-3.28e+007
1928	2.92e-004	3.90e+004	2.01e+007
1929			